

## فاکتورهای کنترل کننده گسترش بافت‌های مختلف سیمان انیدریت و ارتباط آن با کیفیت مخزنی در مخازن کربناته دالان بالایی و کنگان- میدان پارس جنوبی

رحیم کدخدائی ایلخچی<sup>\*</sup>، دانشجوی دکتری دانشگاه فردوسی مشهد\*

حسین رحیم پور بناب، استاد، گروه زمین شناسی دانشگاه تهران

سید رضا موسوی حرمی، استاد، گروه زمین شناسی دانشگاه فردوسی مشهد

علی کدخدائی ایلخچی، استادیار، گروه زمین شناسی دانشگاه تبریز

### چکیده

فرآیندهای دیاژنزی مختلفی کیفیت مخازن کربناته دالان بالایی و کنگان در میدان پارس جنوبی را تحت تاثیر قرار داده است. از جمله مهمترین این فرآیندها تشکیل سیمان انیدریت است که بصورت لایه‌ای، پویکیلوتوپیک، پرکننده تخلخل و فراگیر، ندولی و بلورهای پراکنده، پرکننده شکستگی و رگچه‌ای گسترش یافته است. این بافت‌ها طی مراحل مختلف دیاژنسی بصورت جانشینی و نیز پرکننده تخلخل انواع رخساره‌ها را به درجات متفاوتی متاثر ساخته‌اند. نتایج این مطالعه نشان می‌دهد که سیمان انیدریت عمده‌تاً در رخساره‌های دولومیتی تشکیل شده و در رخساره‌های آهکی بصورت پراکنده و خیلی اندک است و لذا تاثیری بر کیفیت مخزنی آنها نداشته است. این امر همچنین بیانگر تاثیر شورابه‌های غنی از سولفات در فرآیند دولومیتی شدن می‌باشد. از بین بافت‌های مختلف انیدریت، نوع پرکننده تخلخل و فراگیر بیشترین تاثیر را بر کیفیت مخزنی داشته است و با گسترش در رخساره‌های دولوگرینستونی و دولوپکستونی دانه‌پشتیبان و پرکردن تمامی فضاهای خالی طی تدفین کم عمق کیفیت مخزنی آنها را به شدت کاهش داده است. اما از طرفی با توجه به انحلال پذیری این نوع سیمان، در مراحل بعدی دیاژنز و ایجاد تخلخل ثانویه، کیفیت مخزنی آنها بهبود یافته است. بطور کلی گسترش سیمان انیدریت بصورت بافت‌های مختلف توسط سه عامل بافت رسویی اولیه، حضور سیالات شور غنی از سولفات و فرآیندهای دیاژنسی بعدی (انحلال و شکستگی) کیفیت مخازن کربناته دالان بالایی و کنگان را کنترل نموده است.

**واژه‌های کلیدی:** سازند دالان بالایی و کنگان، بافت‌های مختلف انیدریت، شورابه‌های غنی از سولفات، کیفیت مخزنی، دیاژنز، انحلال، شکستگی

## مقدمه

۴ بخش تقسیم نموده اند. واحدهای مخزنی K1 و K2 برای سازند کنگان و K3 و K4 برای سازند دالان بالایی در نظر گرفته می‌شود. هدف از این مطالعه شناسایی انواع بافت‌های مختلف سیمان ایندریت در مخزن با استفاده از مطالعات میکروسکوپی، تعیین فاکتورهای مهم کنترل کننده گسترش این سیمان و اثرات آن بر کیفیت مخزنی انواع رخساره‌های مخزن است.

## روش مطالعه

در این مطالعه که بر روی چاههای شماره ۹، ۱۰ و ۱۱ میدان پارس جنوبی صورت گرفته است (شکل ۲)، شناسایی انواع رخساره‌ها و فرآیندهای دیاژنزی حاکم بر آنها با استفاده از مطالعات مقاطع نازک میکروسکوپی (بیش از ۸۰۰ مقطع) انجام شده است. انواع رخساره‌های میکروسکوپی بر اساس روش دانهام<sup>۱</sup> (۱۹۶۲) و با تغییراتی نامگذاری شدن. بدین صورت در تعیین محیط رسوبی انواع رخساره‌های میکروسکوپی از طبقه بندي ویلسون (Wilson 1975) و باکستون و پدلی (Buxton and Pedley 1989) استفاده شد. به منظور تفکیک رخساره‌های آهکی از دولومیتی کلیه مقاطع نازک با محلول آلیزارین قرمز<sup>۲</sup> رنگ‌آمیزی شدند. به منظور تعیین درصد ایندریت در هر مقطع نازک از روش شمارش نقطه‌ای<sup>۳</sup> با استفاده از نرم افزار تحلیل تصاویر<sup>۴</sup> استفاده شد. در این مطالعه تقسیم‌بندی بافت‌های ایندریت بر اساس لوسیا<sup>۵</sup> (۱۹۹۹) و با تغییراتی جزئی انجام شده است

<sup>1</sup> - Dunham

<sup>2</sup> - Alizarin Red-S

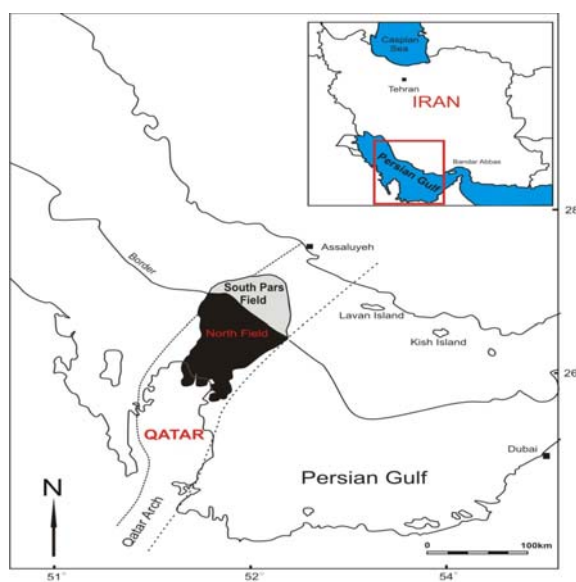
<sup>3</sup> - Point-Counting

<sup>4</sup> - Image Analysis

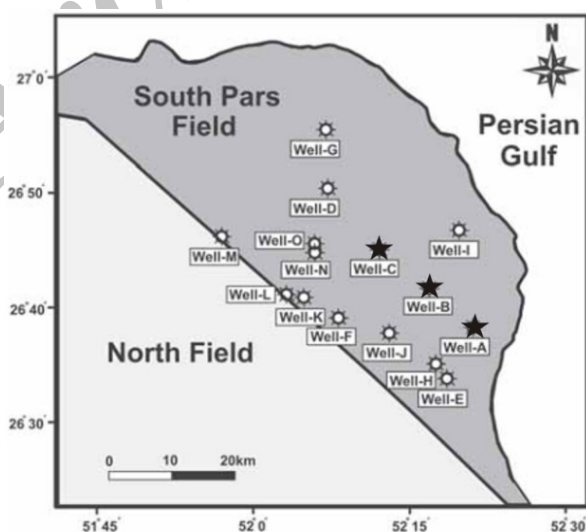
فرآیندهای دیاژنزی از جمله مهمترین عواملی هستند که در کنترل کیفیت مخزنی مخازن کربناته می‌توانند موثر باشند (Flugel 2004; Cai-neng et al. 2008). تاثیر عمدۀ این فرآیندها در افزایش یا کاهش کیفیت مخزنی با توجه به نوع رخساره‌ها و نیز نوع و شدت این فرآیندها می‌تواند متفاوت باشد. میدان پارس جنوبی که در آبهای خلیج فارس واقع است به عنوان بخشی از بزرگترین میدان گازی جهان در فصل مشترک ایران و قطر است (شکل ۱). مخازن کربناته دالان بالایی و کنگان با سن پرمین - تریاس به عنوان سنگ مخزن این میدان، متشکل از توالیهای کربناته - تبخیری هستند که کیفیت مخزنی آنها متأثر از فرآیندهای مختلف دیاژنزی در طول زمان است (Zeigler 2001; Rahimpour-Bonab et al 2010). از جمله مهمترین این فرآیندها تشکیل سیمان ایندریت در مخزن است. طبیعتاً گسترش ایندریت بویژه بصورت سیمان پرکننده حفرات بر کیفیت مخزنی تاثیرگذار است. از طرفی انحلال پذیری بیشتر این سیمان نسبت به سایر سیمانها (کلسیتی و دولومیتی) و نیز گسترش آن بصورت بافتها و اشکال مختلف در مخزن، تفسیر اثرات این سیمان را بر کیفیت مخزنی انواع رخساره‌های مخزنی پیچیده می‌سازد. این موضوع اهمیت بررسی تاثیر این سیمان و نیز بافت‌های مختلف آن را بر کیفیت مخزنی مشخص می‌نماید. مطالعات مختلفی در ارتباط با مخازن مورد مطالعه و معادل آنها در Ehrenberg 2006; Esrafil-Dizaji and Rahimpour-Bonab 2009; Rahimpour-Bonab et al. 2010 کربناته و تبخیری را در سازندهای دالان بالایی و کنگان به

تخلخل و تراوایی مغزه یکی از چاهها(شماره ۹) که اطلاعات آن در دسترس بود استفاده شد.

و علاوه بر بافت‌های اصلی معرفی شده توسط لوسیا تعدادی بافت‌های فرعی و با اهمیت کمتر نیز در مخزن شناسایی و معرفی گردید. در بررسی ویژگیهای مخزنی انواع رخساره‌ها، از نمودار پتروفیزیکی لوسیا(۱۹۹۹)، بر اساس داده‌های



شکل ۱- موقعیت جغرافیایی میدان پارس جنوبی که در آبهای خلیج فارس و در امتداد میدان شمال قطر قرار گرفته است (Aali et al. 2006).



شکل ۲- موقعیت چاههای مورد مطالعه که با عالیم ستاره‌های توپر پر مشخص شده است (Rahimpour-Bonab et al. 2010)

۲- رخساره میکروسکوپی پلوئید، اوئید، بایوکلست گرینستون تا پکستون دانه غالب: این رخساره بصورت مخلوطی ناهمگن از دانه‌های پرانرژی و کم انرژی شامل اوئید، پلوئید، اینترالکلست و اجزاء اسکلتی است که در برخی قسمتها مقداری گل آهکی در بین اجزاء وجود دارد. سیمان دریایی در این رخساره به خوبی گسترش نیافته و با ضخامت کم است(شکل ۳ ب). این رخساره عمدتاً در بخش‌های مخزنی K3 و K4 مخازن مورد مطالعه گسترش دارد(شکل ۴). با توجه به مشخصه‌های بافتی(اندازه دانه و جورشدگی ضعیف) و موقعیت این رخساره در توالی رخساره‌ها محیط تشکیل آن حدواتسط رخساره پرانرژی پشت‌هه سدی و رخساره کم انرژی لاگون است. در مواردی وجود برخی اجزاء پرانرژی مربوط به محیط پشت‌هه سدی همراه با رخساره‌های کم انرژی محیط لاگون می‌تواند بصورت مخروطهای شسته شده<sup>۵</sup> از پشت‌ههای سدی به سمت لاگون در نظر گرفته شود. این رخساره معادل کمربند رخساره‌ای ۶ ویلسون و ۳ باکستون و پدلی است. فرآیند دولومیتی شدن در این رخساره نیز حالتی مشابه رخساره قبلی را دارد و همراه با گسترش سیمان تبخیری پرکننده تخلخل و فراگیر در بین دانه هاست.

۳- رخساره پلوئیدال- بایوکلستیک پکستون گل غالب: این رخساره ترکیبی از اجزاء کم انرژی و دانه ریزتر نسبت به رخساره پشت‌هه سدی می‌باشد(شکل ۳ ب،ت). در این رخساره پلت و اجزاء اسکلتی مانند جلبک، گاستروپود، آنکوئید و دوکفه‌ای در زمینه‌ای از گل آهکی قرار دارند. جورشدگی اجزاء کم بوده و عمدتاً میکراتی هستند. در مواردی شواهدی از آشفتگی زیستی<sup>۶</sup> در این رخساره

## رخساره‌ها و محیط رسوبی

پیش از بررسی انواع بافت‌های انیدریت و تاثیر آنها بر کیفیت مخزنی ابتدا به شرح مختصری در ارتباط با انواع رخساره‌های میکروسکوپی<sup>۱</sup> موجود در مخزن پرداخته می‌شود. همچنین این رخساره‌های میکروسکوپی همراه با مشخصه‌های بافتی و دیاژنزی آنها بصورت خلاصه در جدول ۱ مشخص شده‌اند.

۱- رخساره میکروسکوپی گرینستون تا دولوگرینستون اوئیدی - بایوکلستی: این رخساره از دانه‌های اوئید، اینترالکلست و خردۀ های فسیلی (دوکفه‌ای، خارپوست و بریوزوثر) تشکیل شده است. جورشدگی خوب و گسترش فراوان سیمان دریایی اطراف دانه‌ها به صورت سیمان هم ضخامت<sup>۲</sup> و تیغه‌ای<sup>۳</sup> از ویژگیهای این رخساره است (شکل ۳ الف). این رخساره عمدتاً در بخش‌های مخزنی K2 و K4 مخازن مورد مطالعه گسترش دارد(شکل ۴). محیط تشکیل این رخساره به صورت یک محیط پرانرژی و مربوط به بخش رویه دریا و مرکز پشت‌ههای اوئیدی- بایوکلستی<sup>۴</sup> تفسیر می‌شود. بنابراین این رخساره معادل کمربند رخساره ای ۶ ویلسون و ۳ باکستون و پدلی است. در انواع دولومیتی این رخساره، دولومیتی شدن همراه با گسترش سیمان تبخیری فراگیر و پرکننده تخلخل در بین دانه‌ها است(شکل ۴). دولومیتی شدن عمدتاً بصورت انتخاب کننده فابریک و ریزبلور است اما در مواردی که بصورت تحریب کننده فابریک عمل نموده است همراه با ایجاد بلورهای درشت(بزرگتر از ۱۰۰ میکرون) بوده است.

<sup>1</sup> - Microfacies

<sup>2</sup> - Isopachous

<sup>3</sup> - bladed

<sup>4</sup> - Oolitic-Bioclastic Shoals

<sup>5</sup> - Spill over Fan

<sup>6</sup> - Bioturbation

## ۵- رخساره میکروسکوپی مادستون و دولومادستون تا وکستون:

این رخساره بصورت گل غالب بوده و در مواردی حاوی اجزاء فسیلی پراکنده‌ای مانند میلیولید و استراکود در یک زمینه گلی است (شکل ۳ج). این رخساره از تنوع و فراوانی بالایی در مخزن مورد مطالعه برخوردار است. در انواع دولومیتی این رخساره، دولومیتی شدن عمدتاً با ایجاد بلورهای ریز (کوچکتر از ۲۰ میکرون) و بصورت کامل یا جزئی صورت گرفته است (شکل ۱۰الف و ب). در مواردی آثاری از بلورهای پراکنده تبخیری (ژیپس و ایندیریت) و ترکهای پرشده با سیمان تبخیری در این رخساره مشاهده می‌شود (شکل ۳ج). این رخساره در تمام واحدهای مخزنی بویژه K1 و K3 گسترش دارد (شکل ۴). این رخساره در ارتباط با محیط بین جزرومدمی و معادل کمربند رخساره‌ای ۱ باکستون و پدلی و ۸ ویلسون است.

۶- رخساره میکروسکوپی دولومادستون همراه با ندول ایندیریت: این رخساره بصورت گل غالب و همراه با بلورها و ندولهای پراکنده‌ای از تبخیری‌ها مانند ژیپس و عمدتاً ایندیریت است. این رخساره مربوط به قسمتهای فوقانی محیط بین جزرومدمی تا محیط فوق جزرومدمی است که در آن بلورهای تبخیری پراکنده در متن ماتریکس بتدریج و به سمت قسمتهای فوقانی پنهان جزرومدمی به ندولهای ایندیریت تبدیل می‌شوند. این ندولها در نتیجه تراکم و بهم چسبیدن، ساختارهای ویژه‌ای به نام ساختمان قفس مرغی<sup>۲</sup> را بوجود می‌آورند (شکل ۵ه) و در نهایت به لایه ایندیریت در محیط سبخا تبدیل می‌شوند. این رخساره در ادامه رخساره قبلی قرار دارد و تقریباً در تمام واحدهای مخزنی مشاهده می‌شود (شکل ۴). این رخساره معادل کمربند رخساره‌ای ۱ باکستون و پدلی و ۸ ویلسون است.

مشاهده می‌شود. این رخساره نیز عمدتاً در واحدهای مخزنی K3 و K4 مشاهده می‌شود (شکل ۴). بر اساس شواهد بافتی و فسیل شناسی مذکور، این رخساره به یک محیط نیمه بسته و کم انرژی مانند لاگون پشت سد نسبت داده می‌شود. این رخساره معادل کمربند رخساره‌ای ۷ و ۸ ویلسون و ۲ باکستون و پدلی می‌باشد. در انواع دولومیتی این رخساره نیز دولومیتی شدن بصورت جانشینی اجزاء و ماتریکس همراه با ایجاد بلورهای ریز (کمتر از ۲۰ میکرون) بوده است. گسترش ایندیریت نیز با جانشینی اجزاء و بصورت پراکنده و کوههای در این رخساره عمل نموده است (شکل ۳پ).

۴- رخساره میکروسکوپی استروماتولیت-ترومبولیت: این رخساره بصورت ساختارهایی با لامیناسیون نواری و مشخص (استروماتولیت) یا بدون لامیناسیون و با بافت لخته‌ای (ترومبولیت) است (شکل ۳ث، ح). جلبکهای سبز-آبی یا سیانوباکتریا به عنوان سازندگان اصلی این رخساره محسوب می‌شوند که نقش مهمی در بدام انداختن رسوبات در پهنه‌های جزرومدمی را دارند. استروماتولیت در واحدهای مخزنی K1 و K2 دیده می‌شود. اما ترومبولیت همراه این استروماتولیت صرفاً در ابتدای واحد مخزنی K2 وجود دارد (شکل ۴). محیط تشکیل آن در ارتباط با پهنه بین جزرومدمی تا لاگون بوده و معادل کمربند رخساره‌ای ۷ و ۸ ویلسون و ۱ باکستون و پدلی است. این رخساره به عنوان یک افق کلیدی<sup>۱</sup> چینه‌شناسی در مرز پرمین-تریاس است که در ابتدای سازندگان قرار دارد (لطف پور و همکاران ۱۳۸۲). در این رخساره نیز بلورهای تبخیری بصورت پراکنده و یا پرکننده حفرات (بافت چشم پرنده‌ای) دیده می‌شوند.

<sup>2</sup> - Chickenwire Structure

<sup>1</sup> - Key Bed

استروماتولیت و انیدریت) هستند. نوع کم این رخساره‌ها، تغییرات تدریجی آنها در توالی رسوبی و نیز نبود اجزاء موجودات ریفساز مهم در آنها بیانگر تشکیل آنها در یک محیط کربناته وسیع و با شیب خیلی کم شبیه به یک محیط رمپ کربناته هم شیب<sup>۳</sup> است. از طرفی گسترش تبخیریها بصورت بافت‌ها و اشکال مختلف در این رخساره‌ها که در ادامه بیشتر توضیح داده می‌شود بیانگر تشکیل آنها در یک آب و هوای گرم و خشک است که این موضوع همچنین با آب و هوای دیرینه آن زمان (پرمین-تریاس) مطابقت دارد (Insalaco et al. 2006). این رخساره‌ها تحت تاثیر فرآیندهای دیاژنزی مختلفی قرار گرفته‌اند که از جمله مهمترین آنها دولومیتی شدن، انحلال، سیمانی-شدن و گسترش انیدریت می‌باشد. شکل ۴ توالی انواع رخساره‌های شناسایی شده در مخازن دلان بالایی و کنگان را به همراه داده‌های تخلخل و تراوایی مغزه، درصد حجمی انیدریت و داده‌های چگالی در یکی از چاههای مورد بررسی نشان می‌دهد. همانطور که از این شکل مشخص است این رخساره‌ها دارای سنگ شناسی کربناته و تبخیری بوده و بطورکلی یک روند کم عمق شوندگی به سمت بالا را نشان می‌دهند. این روند از رخساره‌های دانه غالب گرینستونی و پکستونی پشته سدی شروع شده و به سمت لاگون و پهنه جزرومدی و در نهایت رخساره‌های تبخیری در محیط سبخایی می‌رسد. در شکل ۴ این روند توسط فلاش‌هایی مشخص شده است.

دولومیتی شدن جانشینی در این رخساره بصورت یکنواخت و عمده‌تا همراه با بلورهای ریز (کوچکتر از ۲۰ میکرون) است (شکل ۸ الف و ب). در مواردی این بلورها در نتیجه تبلور مجدد دانه درشت‌تر شده‌اند.

۷-لایه انیدریت: در این رخساره بلورهای انیدریت بصورت بافت درهم فشرده و بلورین قابل تشخیص است (شکل ۳ و ۵ الف). این رخساره به عنوان آخرین بخش توالی رخساره‌ها در یک روند کم عمق شوندگی به سمت بالا محسوب می‌شود و همراه با رخساره‌های دولومادستونی ریزبلور در تمام واحدهای مخزنی مشاهده می‌شود (شکل ۴). وجود این رخساره در مخزن مورد مطالعه حاکی از وجود یک سری حوضچه‌های تبخیری در محیط رسوبگذاری است که در آنها در نتیجه شرایط حاکم بر حوضه و تحت شرایط تبخیر سطحی تبخیریها گسترش یافته‌اند. این تبخیریها عمده‌تا بصورت ژیپس و در شرایط شوری و دمای بالا بصورت انیدریت نیز نهشین می‌شوند. همچنین لایه‌های ژیپس اولیه می‌توانند در طول تدفین و افزایش دما در نتیجه آبزدایی به ژیپس تبدیل شوند. این رخساره معادل کمربند رخساره ای ۱ باکستون و پدلی و ۹ ویلسون است که در یک محیط فوق جزرومدی (سبخا) گسترش یافته است.

چانچه مشخص است بطورکلی انواع رخساره‌های شناسایی شده در مخزن در ارتباط با زیرمحیط‌های پشته سدی (گرینستون/دولوگرینستون تا پکستون اوئیدی-بایوکلستی)، لاگون (وکستون/دولوکستون پلوئیدی-بایوکلستی) و پهنه بین جزر و مدی<sup>۱</sup> و بالای جزرومدی<sup>۲</sup> (دولومادستون/وکستون، ترومبویلت /

<sup>1</sup> - Intertidal

<sup>2</sup> - Supratidal

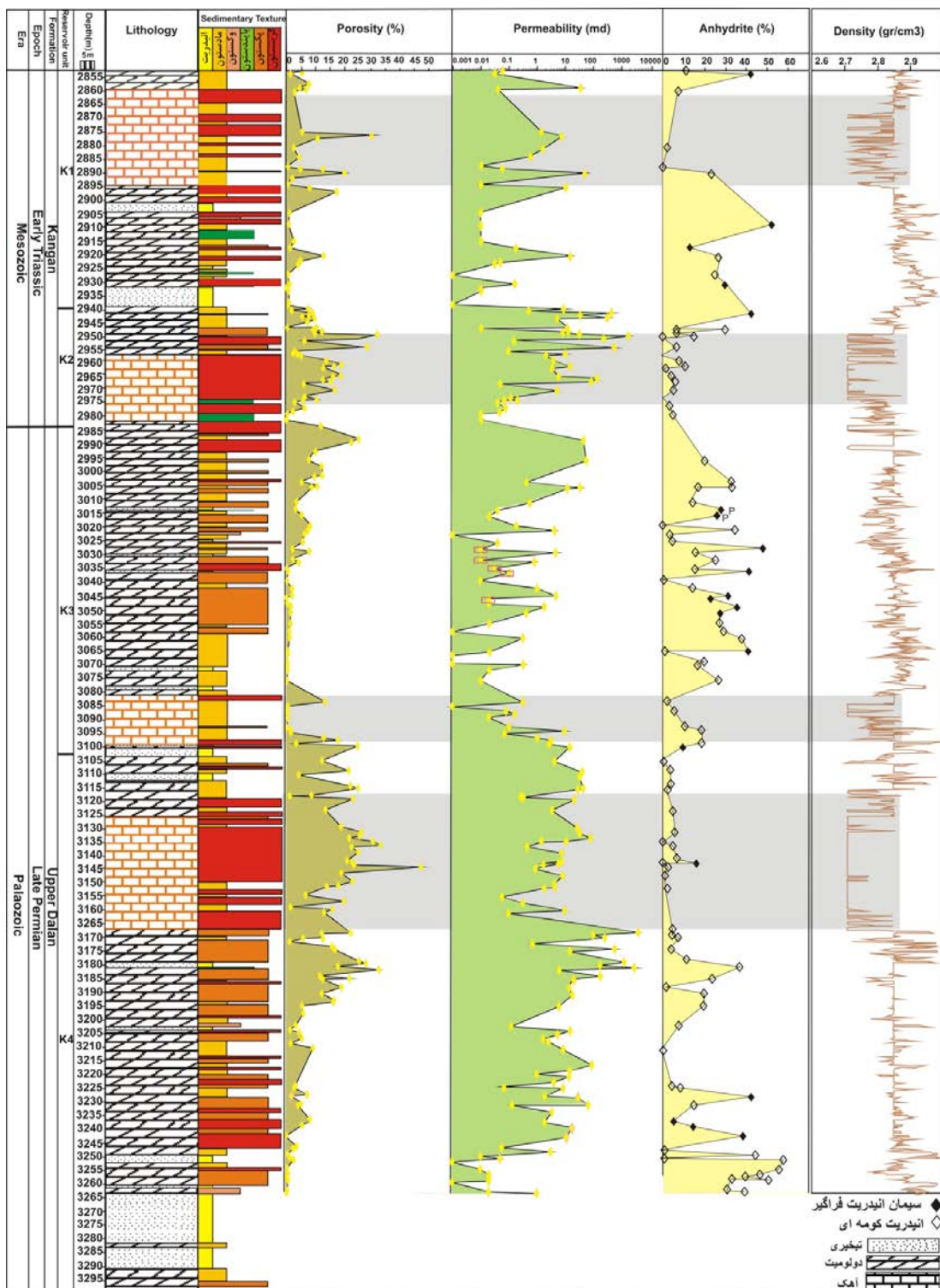
<sup>3</sup> - Homoclinal Ramp



شکل ۳- رخساره های شناسایی شده در مخازن مورد مطالعه. (الف) رخساره گرینستون اوئیدی- بایوکلستی با سیمان تیغه ای در اطراف اجزاء ب) رخساره گرینستون تا پکستون اوئیدی-پلوئیدی با سیمان نازک در اطراف اجزاء پ) رخساره پکستون پلوئیدی - بایوکلستی ت) رخساره پکستون پلوئیدی ث) رخساره استروماتولیت با بافت لامینه ای ح) رخساره ترومبویلت با بافت لخته ای ج) رخساره مادستون تا وکستون بایوکلستی چ) رخساره مادستون دولومیتی با ترکهای پرشده با بلورهای تبخیری ۵) رخساره مادستون ندولی با ساختمان قفس مرغی و) رخساره انیدریت با بلورهای کشیده و درهم بافته.

**جدول ۱ - مشخصه‌های کلی بافتی و کانی شناسی رخساره‌های میکروسکوپی شناسایی شده در مخازن مورد مطالعه**

نام رخساره میکروسکوپی	کانی شناسی	شواهد بافتی و کانی شناسی	اجزاء تشکیل دهنده غالب	اندازه دانه و جورشدگی	محیط رسوبی	کمربند رخساره ای	فرآیند دیاژنسی غالب
گرینستون/دولوگرینستون	دانه غالب و دانه پشتیبان، آهک و دولومیت	اوئید، دوکفه ای، بریوزوآ	دانه درشت، جورشدگی خوب	دانه درشت، جورشدگی خوب	عویلسون و ۳ باکستون و پدلی	گسترش خوب سیمان دور دانه‌ای (تیغه ای) و در مواردی دولومیتی شدن	
اوئیدی-باپوکلستی	-	اوئید، پلوئید و مقادیر کمی گل، باپوکلست	دانه متوسط تا دانه ریز، جورشدگی متوسط تا ضعیف	دانه ریز، جورشدگی ضعیف	۶ ویلسون و ۳ باکستون و پدلی	گسترش سیمان دور دانه ای با ضخامت و وسعت کم و در مواردی میکرایتی شدن	
پلوئید-اوئید- باپوکلستی	دانه غالب همراه مقدار آهک و دولومیت	بلت، جلک، گاستروپود،	دانه ریز، جورشدگی ضعیف	لاگون	۷ و ۸ ویلسون و ۲ باکستون و پدلی	میکرایتی شدن، آشفتگی زیستی	
گرینستون/پکستون	گل غالب، آهک و دولومیت	جلبکهای سبز-آبی	-	پهنه بین جزرومدمی تا لاگون	۷ و ۸ ویلسون و ۱ باکستون و پدلی	سیمانی شدن حفرات بصورت چشم پرنده ای، بلورهای پراکنده تبخیری، دولومیتی شدن	استروماتولیت-تروموپولیت
مادستون-	گل غالب، آهک و دولومیت	آثار پراکنده ای از میلیولید و استراکود	دانه ریز	پهنه بین جزر و مدی	۸ ویلسون ۱ باکستون و پدلی	بلورهای پراکنده تبخیری، ترکهای پر شده با سیمان، دولومیتی شدن	دولومادستون-وکستون
دولومادستون با ندولهای انیدریت	گل غالب با ساخت قفس مرغی، آهک دولومیت و انیدریت	-	دانه ریز، جورشدگی خوب	محیط بالای بین جزر (مدی (سبخا))	۹ ویلسون ۱ باکستون و پدلی	انحلال، شکستگی	
لایه انیدریت	بافت متراکم، انیدریت	-	بلورین	محیط بالای بین جزر (مدی (سبخا))	۹ ویلسون ۱ باکستون و پدلی	انحلال	



شکل ۴- توالی رسوی مخازن دالان بالایی و کنگان در چاه شماره ۹ میدان پارس جنوبی به همراه داده‌های تخلخل و تراوایی مغزه، درصد حجمی ایندیریت و داده‌های چگالی. فلش‌ها روند کلی کم عمق شوندگی به سمت بالا در بخش‌هایی از مخزن نشان می‌دهند.

دانه غالب<sup>۳</sup> گسترش یافته است. همچنین در مواردی به صورت جانشینی در اوئیدها و فسیل‌ها مشاهده می‌گردد. همراهی این سیمان با رخساره‌های دانه غالب دولومیتی بیانگر تاثیر شورابه‌های تبخیری در فرآیند دولومیتی شدن است. در تفسیر روند دولومیتی شدن و گسترش سیمان ایندریت همراه آن می‌توان گفت که دولومیتی شدن همراه با ایجاد سیالات فقیر از منیزیم و غنی از کلسیم است. این امر ارتباط بین دولومیتی شدن و ته نشینی ایندریت را در جایی که سولفات‌کافی موجود باشد نشان می‌دهد که می‌تواند بطور قابل ملاحظه‌ای باعث کاهش تخلخل شود (Kendall and Walter 1977; Wilson et al. 2001) میکروسکوپ این سیمان بصورت مجموعه‌ای از بلورهای بزرگ، یکنواخت و پیوسته فضای تخلخل بین دانه‌ها را پر نموده‌اند. در مواردی تشکیل مرز سه گانه<sup>۴</sup> را در سطح تماس بین بلورهای درشت این سیمان می‌توان مشاهده کرد (شکل ۶ الف و ب). اندازه درشت بلورهای سیمان، نبود آن در سطح تماس بین دانه‌ها، تشکیل آن بعد از سیمانهای کلسیتی مراحل اولیه دیاژنز و همچنین تشکیل آن بصورت سیمان جوش درون شکستگیها و اجزاء شکسته بیانگر تشکیل آن طی مراحل دیاژنز دفنی است. اما از طرفی فضای باز بین دانه‌ها که امکان حرکت شورابه‌های تبخیری را در بین آنها تسهیل نموده نشان می‌دهد که رخساره‌های دارای این نوع سیمان قبل از تشکیل آن تدفین قابل ملاحظه‌ای را متحمل نشده‌اند و ضعیتی که در مخازن کربناته پرمین غرب تگراس نیز گزارش شده است (Saller and Henderson 1998). بر اساس این شواهد می‌توان محیط تشکیل آن را یک محیط دیاژنز تدفین کم عمق در نظر

## انواع بافت‌های ایندریت موجود در مخزن موردنمطالعه

در این بخش بافت‌های مختلف ایندریت موجود در مخزن بطور جداگانه توصیف می‌شوند. این بافت‌ها شامل انواع با اهمیت و گسترش بیشتر در مخزن شامل ایندریت لایه‌ای، ایندریت پویکیلوتوپیک و ایندریت ندولی و نیز انواع با اهمیت کمتر شامل بلورهای تبخیری پراکنده و منفرد، سیمان ایندریت پرکننده‌شکستگی، - رگچه‌های تبخیری و ندولهای ایندریت دفنی است.

**(الف) ایندریت لایه‌ای:** همانطور که قبلاً نیز در توصیف رخساره‌های مخزن اشاره شد لایه ایندریت همراه با رخساره‌های ریز بلورین دولومادستونی و بصورت متناوب با آنها در بخش‌های مختلف سازندهای دالان بالایی و کنگان مشاهده می‌شود. ضخامت این لایه‌ها در حد کمتر از یک متر تا چندین ده متر متغیر است. در مطالعات میکروسکوپی، لایه ایندریت شامل ترکیب فشرده‌ای از بلورهای هم بعد یا توفالهای کشیده و درهم بافت‌های با جهت-گیری نیمه موازی یا نامنظم و تصادفی است (شکل ۳و، ۵الف و ب). این نوع ایندریت احتمالاً به صورت ژیپس اولیه در شورابه‌های سیخایی ته نشین شده و سپس در نتیجه آبزدایی و تدفین به ایندریت تبدیل شده است. لایه ایندریت عموماً به عنوان یک سد یا پوش‌سنگ برای مخازن عمل می‌نماید (Lucia 1999).

**(ب) سیمان ایندریت پرکننده تخلخل و فرآگیر:** این سیمان بصورت بلورهای بزرگ و عمده‌تاً پرکننده تخلخل بین دانه‌ای در دلوگرینستونها و نیز دلوپکستونها

<sup>3</sup> - Grain-dominated

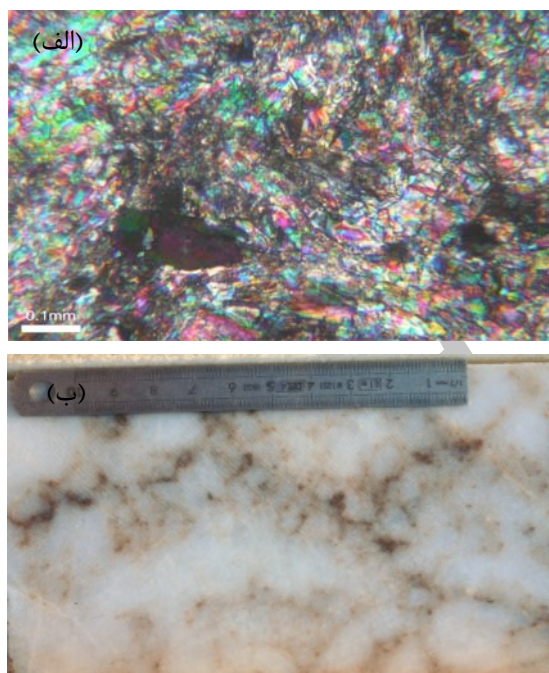
<sup>4</sup> - Triple-Junction

<sup>1</sup> - Layered Anhydrite

<sup>2</sup> - Pore-filling and Pervasive Ahydrite Cement

غالب و دانه درشت و عدم تشکیل آن در رخساره‌های گل- غالب و همچنین در رخساره‌های متراکم شده و دارای استیلوولیت بیانگر کنترل هر دو عامل رخساره و دیاژنز در تشکیل این سیمان است.

گرفت (شکل ۶ ج). این سیمان در مخزن مورد مطالعه تمام منافذ بین بلوری و بین دانه‌ای و حتی ریزتخلل‌ها را اشغال نموده بنابراین از این نظر در بررسیهای کیفیت مخزنی حائز اهمیت است. تشکیل این نوع سیمان در رخساره‌های دانه-



شکل ۵ (الف) تصویر میکروسکوپی از انیدریت لایه‌ای با بافت متراکم و درهم فشرده ( واحد مخزنی K4 - عمق ۳۲۶۰/۷۰). (ب) تصویر مغزه از لایه انیدریت.

ماتریکس، دانه‌ها و نیز سیمانهای مراحل قبلی و در مواردی به صورت پرکننده تخلخل می‌باشد. در دولومادستونها این نوع سیمان به شکل جانشینی و در مواردی همراه با ندولهای انیدریت طی مراحل اولیه دیاژنز تشکیل شده است (شکل ۷ الف). اما برخی شواهد از قبیل وجود ادخالهای دولومیت (شکل ۷ ب) یا سیمانهای مراحل قبلی درون این نوع سیمان، همراهی آن با سیمانهای مراحل دفنی، تشکیل این سیمان بعد از تراکم (دربرگیرنده آلوکم‌های دارای

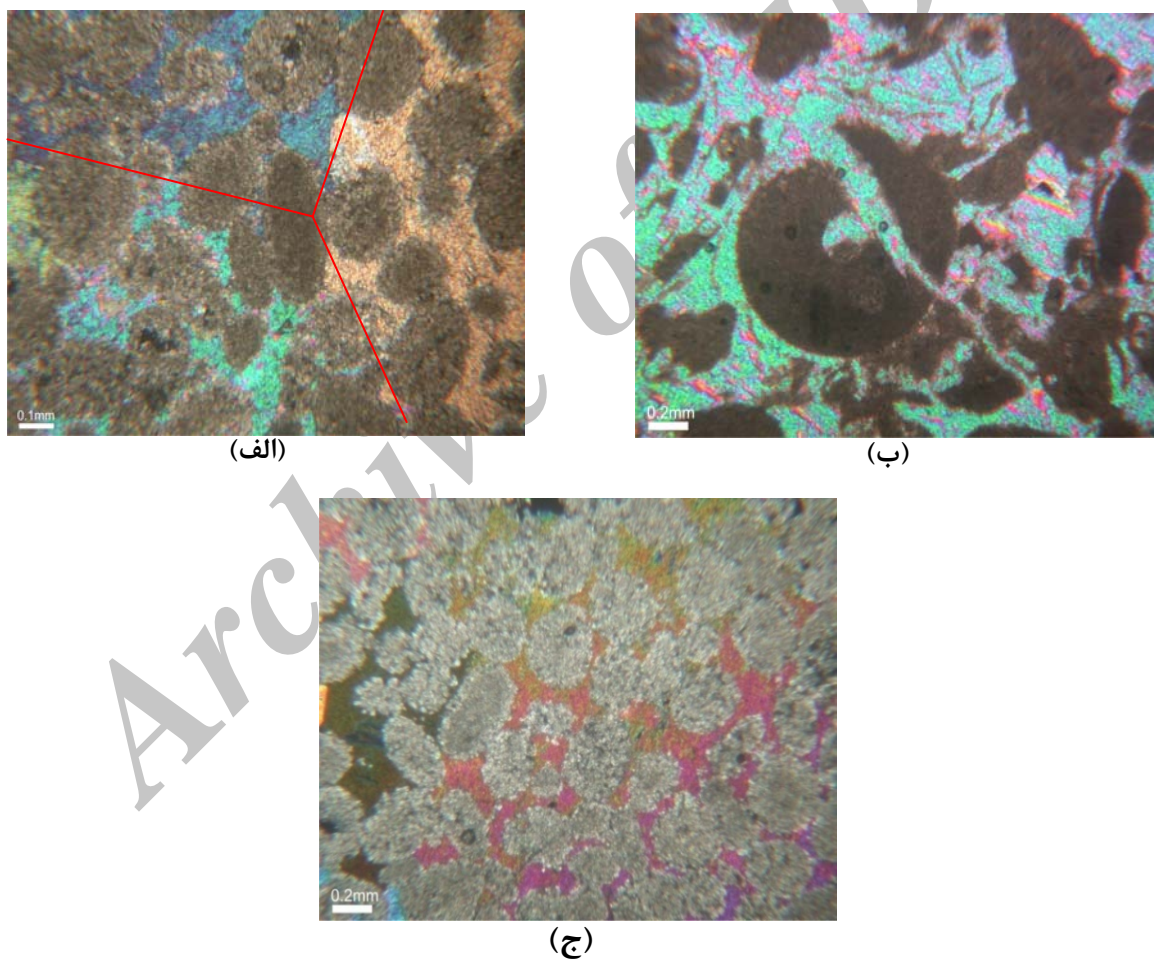
ج) انیدریت پویکیلوتوپیک<sup>۱</sup>: این نوع انیدریت به صورت تجمعی از بلورهای بزرگ با گسترش پراکنده و نامنظم، در مواردی همراه با ادخالهای دولومیت و یا ماتریکس آهکی درون مخزن وجود دارد. در انواع رخساره‌های مخزنی مانند دولوپکستونهای گلپشتیابان، دولومادستونها، دولوستونها و نیز گرینستونها طی مراحل مختلف دیاژنزی تشکیل شده است. بیشتر بصورت جانشینی

<sup>۱</sup> - Poikilotopic Anhydrite

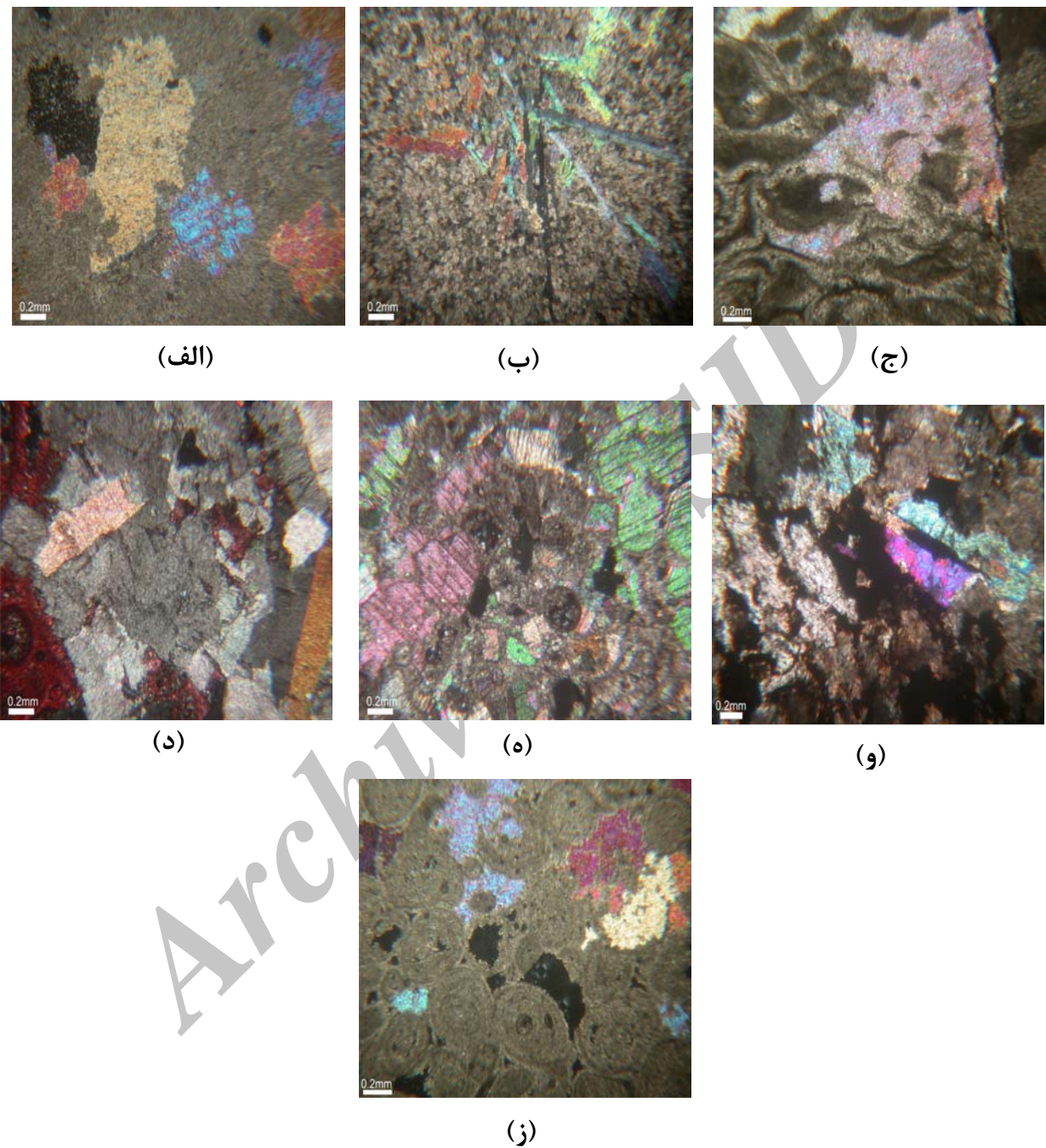
تخلخل بهم مرتبط بوده که از دیدگاه مخزنی حائز اهمیت است (Lonoy 2006).

سیمان انیدریت پویکیلوتوپیک از انواع بافت‌های انیدریت کومه‌ای و به عنوان فراوانترین بافت انیدریت موجود در مخزن مورد مطالعه است (شکل ۴). چنانچه در مخازن دولومیتی پرمین غرب تگراس نیز به عنوان معمول‌ترین فرم انیدریت معرفی شده است (Lucia 2007).

اثرات تراکم (شکل ۷ ج)، تشکیل آن بصورت بلورهای بزرگ و نیز با رخ مشخص (شکل ۷ د، ه) و آغشتگی این سیمان با مواد بیتومینی (شکل ۷ و) بیانگر تشکیل آن طی مراحل دیاژنز تدفینی می‌باشد. البته باید توجه داشت در مواردی اتحلال انیدریت فراگیر بصورت بخشی آن را بصورت کومه‌ای و پراکنده نمایان می‌سازد (شکل ۷ ز). در این حالت اتحلال این سیمان همراه با ایجاد فضاهای



شکل ۶- (الف) تصویر میکروسکوپی از سیمان انیدریت فراگیر در یک دولوگرینستون (سازند دلان بالایی- بخش مخزنی K4) متشكل از بلورهای بزرگ به همراه مرز سه‌گانه (Triple Junction) در محل تماس آنها که توسط خطوطی مشخص شده است. (ب) سیمان انیدریت فراگیر به صورت سیمان جوش و پرکننده شکستگی (ج) سیمان انیدریت به صورت فراگیر و پرکننده تخلخل بین‌دانه‌ای. فضای باز بین اوئیدها بیانگر این است که رخساره قبل از تشکیل این سیمان تدفین قابل ملاحظه‌ای تحمل نکرده است.



شکل ۷- اشکال مختلف سیمان ایندیریت پویکلولوتوپیک در مخزن. (الف) ایندیریت به صورت کومه‌های پراکنده و جانشینی ماتریکس. (ب) سیمان ایندیریت پویکلولوتوپیک به صورت کومه‌ای با ادخال‌های دولومیت. (ج) ایندیریت کومه‌ای که بعد از تراکم دانه‌ها و به صورت جانشینی تشکیل شده است. (د) سیمان ایندیریت کومه‌ای به صورت بلورهای درشت و جانشینی. (ه) سیمان ایندیریت دفني با رخ‌های مشخص و بلورهای درشت. (و) سیمان ایندیریت کومه‌ای همراه با ماده آلی (بیتومین). (ز) سیمان ایندیریت کومه‌ای. انحلال سیمان ایندیریت فرآگیر آن را به صورت کومه‌ای و پراکنده نمایان ساخته است.

از طرفی قطع شدن این نوع اندیزیت با شکستگیها و نیز استیلوولیت‌ها که نشان‌دهنده تشکیل آن قبل از فرآیندهای فوق می‌باشد و نیز همراهی ندول‌ها با رگچه‌های تبخیری حاصل از تراکم و آب زدایی ژیپس اولیه، موضوع تشکیل و گسترش آنها را طی دیاژنز اولیه تقویت می‌نماید.

ه) ندول‌های اندیزیت دفنی<sup>۷</sup>: ندول‌های اندیزیت می‌توانند از عمق صفر تا چند هزار متر تشکیل شوند (Machel 1993).

در مخزن مورد مطالعه ندول‌های دفنی از فراوانی کمتری نسبت به ندول‌های مراحل اولیه دیاژنز برخوردارند. این ندولها درون رخساره‌های دانه غالب و همچنین در امتداد استیلوولیت تشکیل شده‌اند و برخلاف ندول‌های مراحل اولیه دیاژنز شواهدی از فرآیند آب‌زدایی، شکستگی و همراهی با رگچه‌های تبخیری را نشان نمی‌دهند (شکل ۹ الف و ب) که بیانگر تشکیل این ندولها طی مراحل دیاژنز تدفینی است.

و) بلورهای تبخیری پراکنده و منفرد<sup>۸</sup>: این بلورها در اشکال و اندازه‌های مختلف و به صورت پراکنده در رخساره‌های مادستونی و دولومادستونی گسترش یافته‌اند. در مواردی به صورت پرکننده ترک‌ها و حفرات روزنه‌ای<sup>۹</sup> و به صورت فابریک چشم پرنده‌ای درون رسوبات دیده می‌شوند. شکل بلورها به فرم لوزوچه‌ی، هم‌بعد و در مواردی به فرم چند بلوری است (شکل ۱۰ الف، ب، ج). در مواردی در اثر رخنمون تحت الجوی و انحلال این بلورها، قالب‌های آنها به صورت تخلخل‌های مجزا درون رسوبات باقی مانده است و یا توسط سیمان‌های کلسیتی پرشده است. این تبخیریها بیشتر در رخساره‌های بالای پهنه بین جزر و مدی تا ابتدای سبخا طی مراحل اولیه دیاژنز تشکیل شده‌اند.

ز) سیمان اندیزیت پرکننده شکستگیها<sup>۱۰</sup>: این نوع اندیزیت بصورت بلورهای درشت و پرکننده شکستگیها در

۵) اندیزیت ندولی<sup>۱</sup>: این نوع اندیزیت به صورت مجموعه‌ای از بلورهای ریز و درهم بافتی با جهت گیری تصادفی می‌باشد که اصطلاح فابریک نمدی<sup>۲</sup> را برای آن بکار می‌برند. اندازه این ندول‌ها در حد چند میلی‌متر تا سانتی‌متر و حتی بزرگ‌تر است (شکل ۸ الف و ب). در مواردی در نتیجه تبلور دوباره، این بلورها رشد کرده است. ندول‌های اندیزیت معمولاً طی مراحل اولیه دیاژنز در محیط‌های سبخایی و در رسوبات دانه‌ریز مانند Hovorka 1992; Machel 1991; Kasprzyk and Ortí 1998; Gundogan and Burton 2005). این ندول‌ها در مواردی بصورت ژیپس اولیه تشکیل شده و سپس در اثر آب زدایی به اندیزیت تبدیل می‌شوند. به سمت قسمت‌های فوقانی منطقه بالای جزر و مدی<sup>۳</sup> یا سبخا با افزایش شوری بتدریج بر تعداد و بزرگی ندولها افزوده شده و ساخت قفس مرغی<sup>۴</sup> ایجاد شده است (Porthero and Schwab 1996; Warren 2006).

۸) فرآیند رشد ندولها و همچنین بلورهای پراکنده‌ای از تبخیریها بصورت جایگیری<sup>۵</sup> و جاشینی<sup>۶</sup> درون رسوبات کربناته تقریباً همزمان با دولومیتی شدن Alsharhan and Whittle 1995; Pomoni 2002 آنهاست (Pappaioannou and Karakitsios 2002).

اندیزیت از فراوانی کمتری نسبت به انواع پویکلولوتوپیک و سیمان اندیزیت فراگیر و پرکننده تخلخل برخوردار است. این نوع اندیزیت به علت همراهی بارخساره‌های استروماتولیتی و دولومادستونی (بلورهای کوچک‌تر از ۲۰ میکرون) در مراحل اولیه دیاژنز تشکیل شده است (Rahimpour-Bonab et al. 2010).

<sup>1</sup> - Nodular Anhydrite

<sup>2</sup> - Felted Fabric

<sup>3</sup> - Supratidal

<sup>4</sup> - Chickenwire Structure

<sup>5</sup> - Displacement

<sup>6</sup> - Replacement

7 - Burial Anhydrite Nodules

8 - Sparse and isolated evaporate crystals

9 - Fenestral

10 - Fracture Filling Anhydrite

گسترش این نوع تبخیریها در ارتباط تنگاتنگی با دولومیتی شدن اولیه رسوبات و تشکیل دولومیتهای ریزبلورین و نیمه پایدار<sup>۲</sup> در این محیط‌هاست. بافت‌های دیگر ایندیریت مانند سیمان ایندیریت فراگیر، بخش عمدۀ سیمان ایندیریت پویکیلوتوپیک و ایندیریت پرکننده شکستگیها طی مراحل دیاژنر تدفینی و با نفوذ شورابه‌های تبخیری بدروون رخساره‌ها تشکیل شده‌اند. شکل ۱۳ بطور خلاصه توالی دیاژنری تشکیل این بافت‌ها را در مخازن مورد مطالعه نشان می‌دهد. همانطور که در این شکل مشخص است سیمان ایندیریت پویکیلوتوپیک گستره‌ی دیاژنزی وسیعی را شامل می‌شود و همچنین فراوانترین بافت ایندیریت شناخته شده در مخازن مورد مطالعه است.

### ارزیابی کیفیت مخزنی

چنانچه در مقدمه نیز اشاره گردید سیمان ایندیریت به عنوان یکی از مهمترین و معمولترین سیمانهای موجود در مخازن کربناته دلان بالایی و کنگان است که به اشکال و بافت‌های متفاوت در انواع رخساره‌های مخزن تشکیل شده است. ترسیم داده‌های تخلخل و تراوایی مغزه در مقابل درصد فراوانی ایندیریت در انواع رخساره‌های مخزن ارتباط معمول(معکوس) و مشخصی را که پیش‌بینی می‌شود نشان نمی‌دهد(شکل ۱۴ الف و ب). این مسئله می‌تواند در ارتباط با بافت‌های مختلف ایندیریت، تنوع رخساره‌های دارای سیمان ایندیریتی و تاثیر انحلال و شکستگی در مخازن باشد.

رخساره‌های دانه‌ریز دولومادستونی مشاهده می‌شود. عموماً بصورت یک سیمان دیاژنر تدفینی و همراه با سایر سیمانهای دفعی یافت می‌شود. در مواردی اثراتی از انحلال و جانشینی آن با کلسیت دیده می‌شود. این نوع ایندیریت به مقدار کمی در مخزن مورد مطالعه وجود دارد (شکل ۱۱ الف و ب).

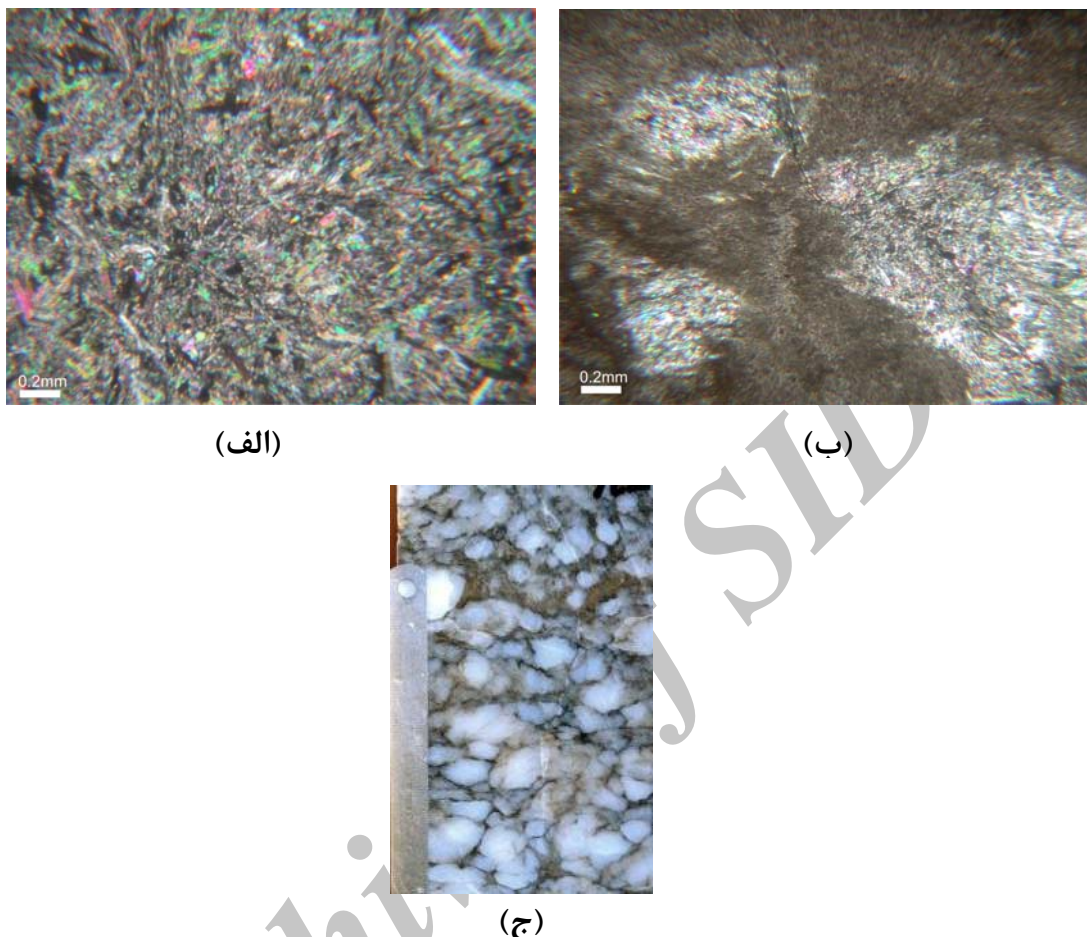
ح) رگچه‌های تبخیری<sup>۱</sup> : این رگچه‌ها بصورت نازک و با حاشیه نامنظم همراه با ندولهای ایندیریت بوده و از آنها منشعب می‌شوند(شکل ۱۲ الف و ب). احتمالاً در نتیجه آبزدایی ژیپس اولیه و تبدیل آن به ایندیریت، آب حاصل از این فرآیند بصورت رگچه‌ها و نیز شکستگی‌هایی که بیشتر از ژیپس هستند درون رسوبات دانه‌ریز دولومادستونی گسترش می‌یابد. این رگچه‌ها در مواردی همراه با استیلولیت بوده و به آن ختم می‌شوند، به عبارت دیگر در طول مسیر خود در نهایت توسط استیلولیت قطع می‌شوند که می‌تواند به عنوان شاهدی بر تشکیل آنها طی مراحل دیاژنر تدفینی باشد. این رگچه‌ها و نیز شکستگی‌ها خود می‌توانند به عنوان مجرایی برای سیالات عمل نموده و تا حدودی در افزایش تراوایی رخساره‌های دانه‌ریز و ناتراوا موثر باشند.

### توالی دیاژنتیکی تشکیل انواع بافت‌های ایندیریت در مخزن

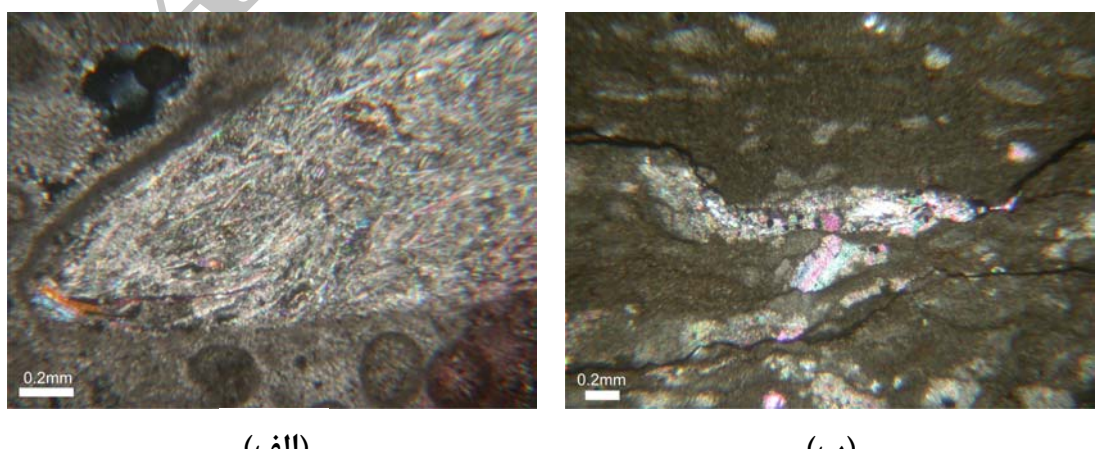
انواع بافت‌های مختلف ایندیریت در مخازن مورد مطالعه طی مراحل مختلف از محیط دیاژنر سطحی تا محیط تدفین کم‌عمق و عمیق تشکیل شده‌اند. بر این اساس گسترش لایه‌ها و نیز بلورها و ندولهای پراکنده تبخیری در پهنه جزر و مدی و سبخایی بصورت تقریباً همزمان با رسوبگذاری یا تحت تاثیر دیاژنر اولیه قابل تفسیر است.

<sup>2</sup> - Metastable

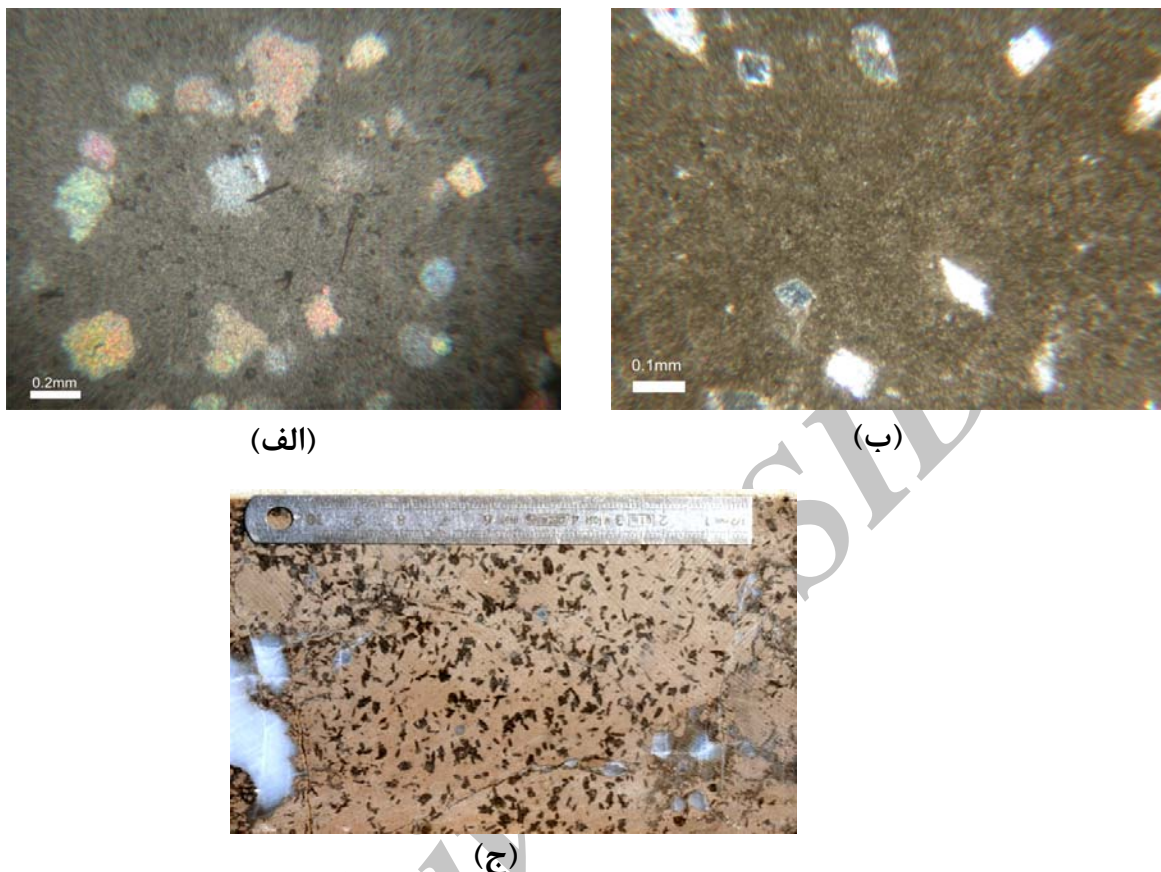
<sup>1</sup> - Evaporite Veins



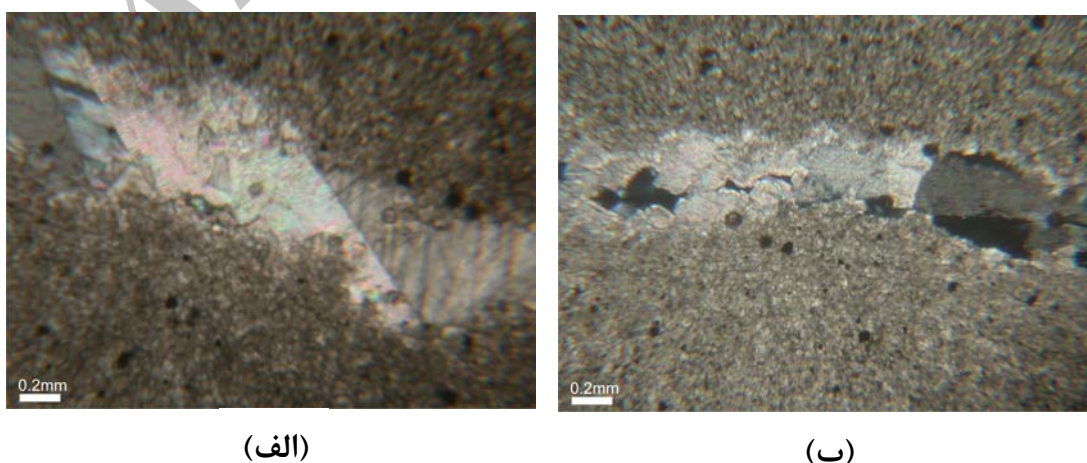
شکل ۸- (الف) تصویر میکروسکوپی از ندول انیدریت با بلورهای ریز، درهم بافته و با جهت‌گیری نامشخص (فابریک نمدی). (ب) ندول‌های انیدریت پراکنده در متن ماتریکس. (ج) تصویر مغزه از ندولهای انیدریت بهم پیوسته که تشکیل (ساخت قفس مرغی).



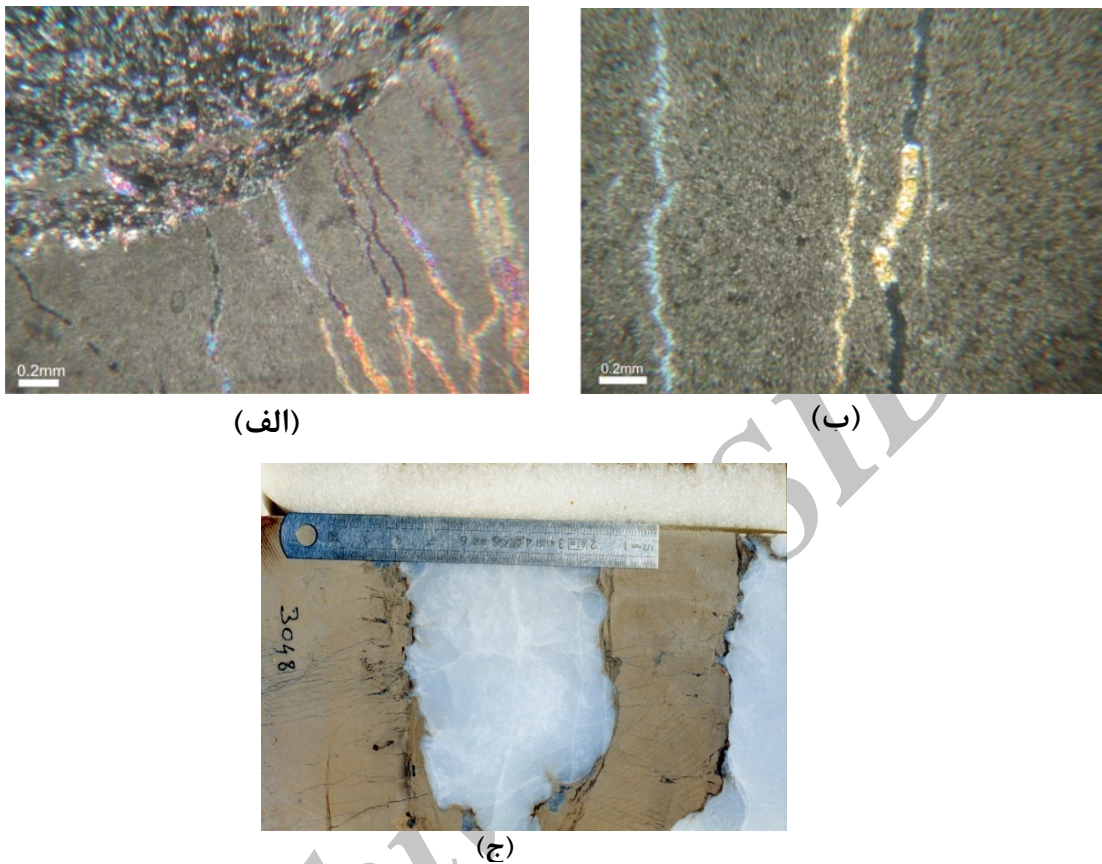
شکل ۹- (الف) ندول انیدریت دفنی به صورت پرکننده تخلخل قالبی در یک گرینستون. (ب) ندول‌های انیدریت در امتداد استیلولیت که بیانگر تشکیل آنها طی دیاژنز دفنی است.



شکل ۱۰- (الف) بلورهای پراکنده تبخیری در متن ماتریکس. این تبخیری‌ها مربوط به قسمت فوقانی پهنه جزر و مدی تا محیط سبخایی است (ب) بلورهای لوزی شکل ژیپس به صورت پراکنده در متن ماتریکس. این رخساره مربوط به پهنه جزر و مدی است. (ج) تصویر مغزه از بلورهای پراکنده تبخیری در پهنه جزر و مدی.



شکل ۱۱- (الف) سیمان اینیدریت پرکننده شکستگی (ب) سیمان اینیدریت پرکننده شکستگی که انحلال



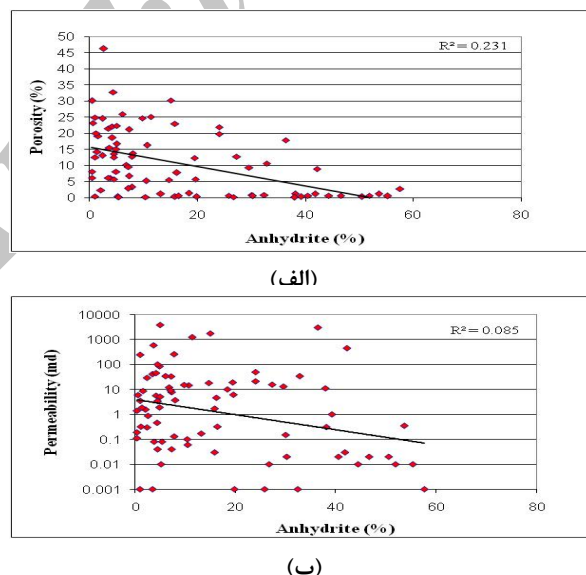
شکل ۱۲- (الف) رگچه‌های تبخیری همراه با ندول انیدریت. (ب) رگچه‌های تبخیری با حاشیه مضرس. این دگچه‌ها عمدتاً ژیپسی است. (ج) تصویر مغزه از ندول انیدریت همراه با رگچه‌های تبخیری.

وقایع دیاژنتیکی متداول کمتر متداول	محیط‌های دیاژنزی			توضیحات
	محیط کم عمق	تدفین کم	تدفین عمیق	
بلورهای تبخیری پراکنده	—	—	—	ژیپس و انیدریت که عمدتاً در ارتباط با پهنه جزوودی است
انیدریت ندولی	—	—	—	بیشتر در ارتباط با محیط‌های سیخایی و تحت تاثیر شورایه‌های منفذی درون رسوبات تشکیل شده است و می‌تواند بصورت ژیپس اولیه تشکیل شده باشد
انیدریت لایه‌ای	—	—	—	دون شورایه‌های سیخایی و احتمالاً بصورت ژیپس اولیه نه نشین شده است
رگچه‌های تبخیری	—	—	—	در نتیجه آب زدایی ندولهای ژیپس اولیه تشکیل شده اند
انیدریت پویکیلوتوپیک	—	—	—	تصویر پرکننده تخلخل و جانشینی در مواردی همراه با ادخالهای دولومیت است
انیدریت فرآگیر	—	—	—	فراوانترین نوع بافت انیدریت موجود در مخزن می‌باشد
انیدریت پرکننده شکستگی	—	—	—	متشكل از بلورهای درشت و با گسترش یکنواخت است که کل منافذ موجود در رخساره‌های دانه پشتیبان را پر کرده است
افزایش عمق و پیشرفت زمان				به صورت بلورهای درشت و عمدتاً درون شکستگیهای موجود در دولومادستونها گسترش دارد

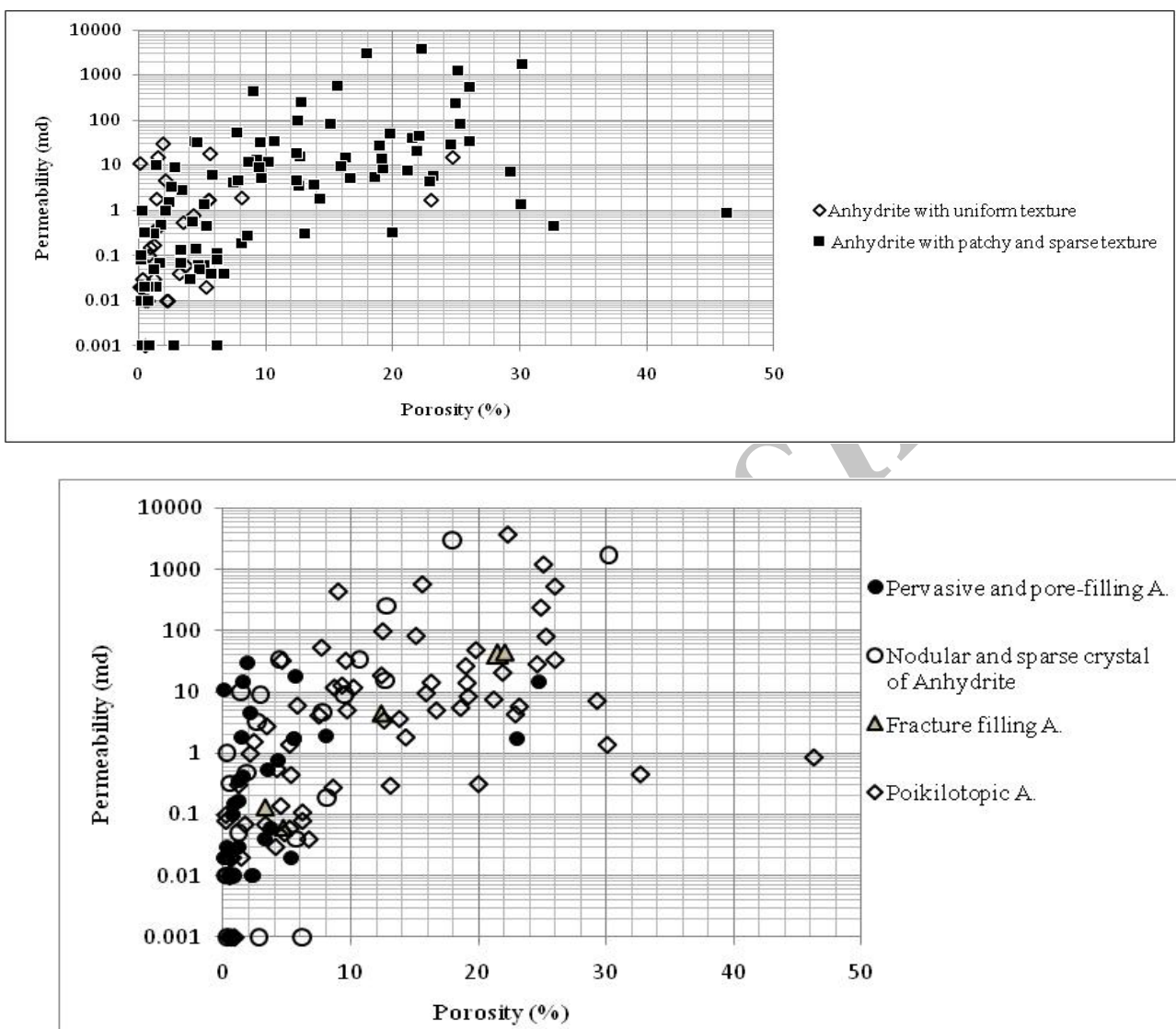
شکل ۱۳- توالی پاراژنتیکی انواع بافت‌های انیدریت در مخازن مورد

مورد این سیمان در ارتباط با اندازه دانه و جورشدگی در رخساره‌های دانه غالب است. علاوه بر این انطباق قابل ملاحظه‌ای بین درصد حجمی ایندیریت و چگالی مشاهده می‌شود. به طوری که در قسمتهای با ایندیریت بالا، چگالی افزایش و در بخش‌های با ایندیریت پایین چگالی کاهش می‌یابد. متوسط چگالی در رخساره‌های کلسیتی ۲/۷۴ و در رخساره‌های دولومیتی با سیمان ایندیریت فراگیر ۲/۸۵ گرم بر سانتی‌متر مکعب محاسبه شد. از سوی دیگر نمودار داده‌های تخلخل و تراوایی مغزه برای انواع رخساره‌های مخزن متاثر از سیمان ایندیریت نشان می‌دهد که بطور کلی رخساره‌های دارای ایندیریت با گسترش پراکنده و کومهای نسبت به انواع با سیمان ایندیریت فراگیر از کیفیت مخزنی بهتری برخوردارند (شکل ۱۵) که منطبق بر مطالعات پیشین Rahimpour et al. 2010.

به منظور بدست آوردن یک ارتباط مناسب و منطقی در تاثیر سیمان ایندیریت بر کیفیت مخزنی، نمودار ترکیبی چاه‌پیمایی در یکی از چاههای مورد مطالعه (بافت رسوی) در کنار داده‌های تخلخل و تراوایی مغزه، درصد حجمی ایندیریت و چگالی) بررسی شده است (به شکل ۴ رجوع شود). انطباق این داده‌ها نشان می‌دهد که ایندیریت درصد کمی را در رخساره‌های آهکی شامل می‌شود بطوریکه در مطالعات پتروگرافی نیز در رخساره‌های آهکی، ایندیریت بصورت پراکنده و اندک مشاهده می‌شود. بنابراین ایندیریت بر کیفیت مخزنی این رخساره‌ها تاثیری نداشته است. فراوانی ایندیریت عمدها در ارتباط با گسترش سیمان ایندیریت پراکنده تخلخل و فراگیر درون رخساره‌های دانه غالب (دولوپکستون دانه غالب و دولوگرینستون) مخزن است که باعث کاهش شدید تخلخل و تراوایی آنها شده است. بنابراین بیشترین تاثیر را این نوع بافت ایندیریت بر کیفیت مخزنی داشته است. اختلاف در اندازه پیک‌ها در



شکل ۱۴- نمودار درصد حجمی ایندیریت در برابر تخلخل (الف) و تراوایی (ب)



شکل ۱۵ - نمودار داده‌های تخلخل و تراوایی مغزه در انواع رخساره‌های مخزن متاثر از سیمان ایندریت. (الف) ایندریت با گسترش یکنواخت و کومه‌ای (ب) انواع بافتی‌ای مختلف ایندریت.

بررسی‌های میکروسکوپی و داده‌های تخلخل و تراوایی مغزه در رخساره‌های دانه غالب مخزن (دولوگرینیستون و دولوپکستون دانه غالب) که تحت تاثیر سیمان ایندریت

سیمانها (کلسیتی و دولومیتی) که عمدتاً کاهنده کیفیت مخزنی هستند به صورت دوگانه است. این دوگانگی اساساً

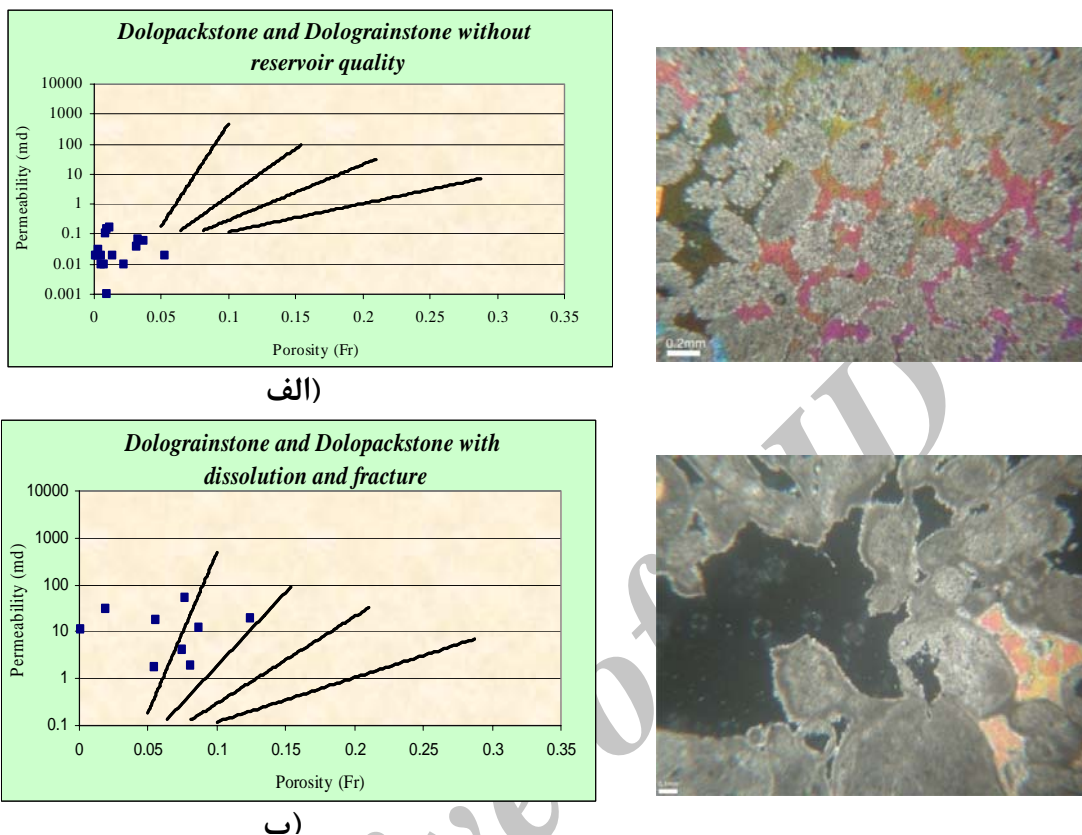
### تأثیر دوگانه سیمان ایندریت پرکننده تخلخل و فراگیر بر کیفیت مخزنی

پرکننده تخلخل و فراگیر قرار گرفته‌اند نشان می‌دهد که تاثیر این نوع سیمان بر کیفیت مخزنی آنها بر خلاف سایر

شکستگی را نیز در مراحل بعدی دیاژنز در نظر گرفت. همچنین چنانچه در شکل ۱۶ ب مشخص است ترسیم داده‌های تخلخل و تراوایی مغزه در رخساره‌های دانه پشتیبان با سیمان ایندیریت فراگیر و پرکننده تخلخل که در مراحل بعدی تحت تاثیر انحلال و شکستگی قرار گرفته‌اند نشان می‌دهد که این رخساره‌ها از موقعیت با کیفیت مخزنی پایین به سمت گروه پتروفیزیکی ۱ لوسیا جابجایی پیدا کرده و کیفیت مخزنی آنها بهبود یافته است. جدول ۲ بطرور خلاصه انواع بافت‌های ایندیریت را در ارتباط با رخساره‌های مختلف مخزن و کیفیت مخزنی آنها نشان می‌دهد.

شکل ۱۷ بصورت شماتیک عوامل اصلی کنترل کننده گسترش ایندیریت و تاثیر آن بر کیفیت مخزنی را در مخازن مورد مطالعه نشان می‌دهد. همانطور که در این شکل مشخص است تشکیل این سیمان و تاثیر آن بر کیفیت مخزنی متاثر از سه عامل اصلی حضور شورابه‌های غنی از سولفات در محیط، بافت رسوبی و تاثیر فرآیند انحلال در مراحل بعدی دیاژنز و ارتباط متقابل بین آنهاست. چنانچه حضور شورابه‌های سولفاته حاصل از انحلال لایه‌های تبخیری و نفوذ آن به داخل رخساره‌های عمدتاً نفوذپذیر و دانه غالب مخزن (گرینستون‌ها و پکستون‌های دانه غالب) عاملی است که ضمن دولومیتی کردن این رخساره‌ها، با ته نشست سیمان ایندیریت بصورت پرکننده تخلخل بین دانه‌ای و فراگیر، باعث از بین رفتن کیفیت مخزنی در آنها شده است (شکل ۱۶الف). از طرفی انحلال بعدی این سیمان طی مراحل بعدی دیاژنز به عنوان عامل مهمی در بهبود کیفیت مخزنی آنها عمل نموده است (شکل ۱۶ب).

می‌تواند مرتبط با انحلال‌پذیری بیشتر این سیمان نسبت به سیمانهای کلسیتی و دولومیتی باشد. ایندیریت به علت حساسیت زیاد می‌تواند به راحتی و بصورت کامل یا بخشی انحلال یابد (Gareth and Xiao 2005). بطور کلی این سیمان با گسترش در بین رخساره‌های دولوگرینستونی و دولوپکستونی مخازن مورد مطالعه باعث از بین رفتن کیفیت مخزنی آنها شده است. این موضوع با ترسیم داده‌های تخلخل و تراوایی مغزه در این رخساره‌ها بر روی نمودار پتروفیزیکی لوسیا (۱۹۹۹) بخوبی نشان داده شده است (شکل ۱۶ الف). لذا به عنوان یک عامل مهم کاهنده کیفیت مخزنی در این رخساره‌ها محسوب می‌شود. اما تاثیر مثبت این سیمان بدین صورت است که با گسترش در بین اجزاء کربناته و سیمانی کردن کامل آن طی تدفین کم عمق و در نتیجه اشغال بخش عمدۀ فضاهای خالی سنگ از تراکم بیشتر آن طی مراحل تدفین عمیق‌تر جلوگیری می‌نماید. سپس طی مراحل بعدی در جاهایی که این رخساره‌ها در نتیجه عملکرد سیالات تحت اشیاع از سولفات، تحت تاثیر فرآیند انحلال واقع شده‌اند کیفیت مخزنی آنها بهبود یافته است. در برخی موارد بدليل انحلال بخشی سیمان ایندیریت در این رخساره‌ها، حفرات تخلخل بصورت پراکنده و غیریکنواخت ایجاد می‌شود که نسبت به نوع با توزیع یکنواخت تراوایی بالاتری دارد. زیرا در این حالت سیستم فضاهای خالی در نتیجه انحلال ثانویه ارتباط بهتری با هم داشته و در واقع از نوع فضاهای تخلخل موثر است (Lonoy 2006). از طرفی سیمانی شدن کامل رخساره‌های دانه غالب توسط این ایندیریت فراگیر احتمالاً باعث افزایش شکنندگی آنها شده است. بنابراین به منظور بررسی کیفیت مخزن در مخازنی که تحت تاثیر این سیمان واقع شده‌اند باید تاثیر فرآیندهای دیاژنزی دیگری همچون انحلال و



شکل ۱۶- (الف) موقعیت دولوگرینستون‌ها و دولوپکستون‌های کامل سیمانی شده با سیمان ایندریت فراگیر در نمودار پتروفیزیکی لوسیا (۱۹۹۹). همانطور که مشخص است این سیمان باعث کاهش هم تخلخل و هم تراوایی در این رخساره‌ها شده است. (ب) موقعیت دولوگرینستون‌ها و دولوپکستون‌های همراه با شکستگی و انحلال سیمان ایندریت فراگیر در ارتباط با نمودار پetrofیزیکی لوسیا (۱۹۹۹). انحلال در این رخساره‌ها باعث بهبود کیفیت مخزنی شده است.

## جدول ۲ انواع بافت‌های ایندریت موجود در مخزن و ارتباط آنها با

بافت ایندریت	فرآوانی (%)	رخساره مرتبط	تاثیر روی تخلخل	تاثیر روی تراوایی	تاثیر روی کیفیت مخزنی
سیمان فراگیر و پرکننده تخلخل	۲/۶۳	دولوپکستون و دولوگرینستون	منفی	منفی	به طور کلی منفی اما بستگی به مراحل بعدی دیازنزیزدارد
پویکلیوتوبیک	۵۹/۵	متغیر	ناچیز	منفی	ناچیز
نودول ایندریت	۶/۳	عمدتاً دولومادستون	ناچیز	می‌تواند مثبت باشد	تا حدودی می‌تواند موثر باشد
بلورهای پراکننده تبخیری	۷/۱	دولومادستون	ناچیز	ندارد	ناچیز
اندریت پرکننده شکستگی	۲/۹۶	دولومادستون	ناچیز	ناچیز	ناچیز
رجچه‌های تبخیری	۲/۲۸	دولومادستون	ندارد	می‌تواند موثر باشد	ناچیز

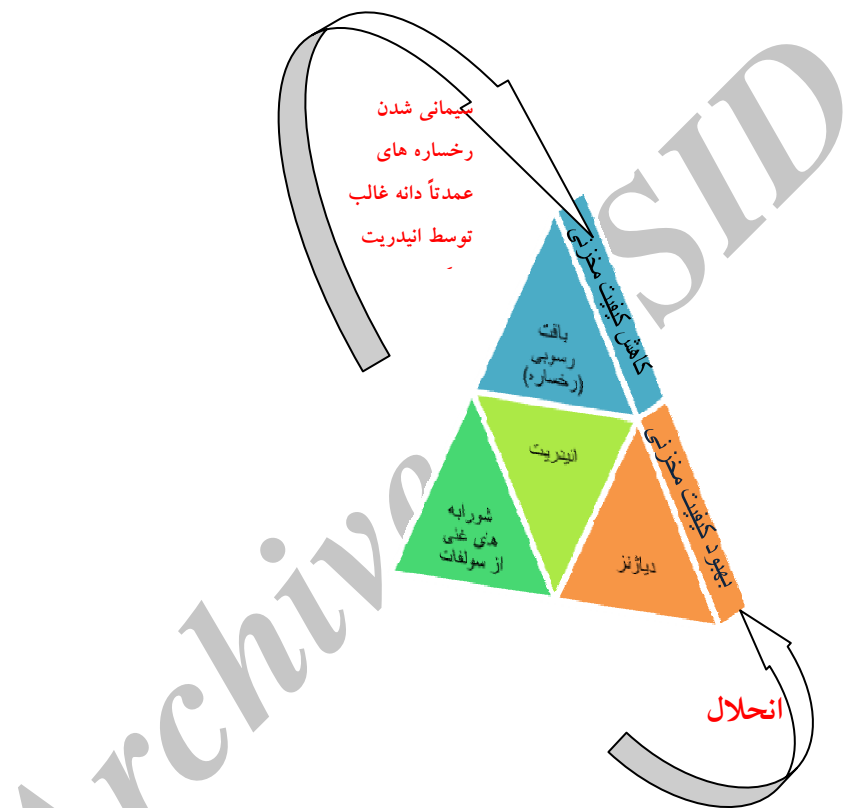
باعث دولومیتی شدن رسوبات آهکی اولیه شده است. در این حالت فرآیند دولومیتی شدن و تشکیل تبخیریها تقریباً همزمان صورت گرفته است. اما بخشی از فرآیند دولومیتی- شدن در ارتباط با جریان و نفوذ شورابه‌های حاصل از انحلال تبخیریها اولیه به درون رسوبات عمدتاً متخلخل و نفوذپذیر مخزن و همراه با گسترش سیمان ایندیریت درون این رخساره‌ها می‌باشد. بنابراین در این صورت این دولومیت‌ها طی دیاژنر بعدی و بعد از دولومیت‌های دیاژنری اولیه تشکیل شده‌اند. این موضوع بویژه در مورد سیمان ایندیریت فراگیر و پرکننده تخلخل درون رخساره‌های دانه‌غالب و دانه‌درشت مخزن (دولوگرینستونها و دولوپکستونهای دانه‌غالب) بخوبی مشهود است. فرآیند گسترش سیمان ایندیریت در این رخساره‌ها (که قبلاً کلسیتی بوده) دولومیتی شدن آنها را می‌توان به نفوذ شورابه‌های حاصل از انحلال تبخیری‌های اولیه بدرونو این رخساره‌ها طی تدفین کم عمق نسبت داد که فضای باز بین دانه‌های کربناته امکان جریان و حرکت شورابه‌ها را درون آنها تسهیل نموده است. این وضعیت همچنین در مخازن دولومیتی پرمیں غرب تگزاس گزارش شده است (Saller and Henderson 1998). این شورابه‌ها غنی از یونهای منیزیم و بویژه سولفات بوده لذا با عبور از میان رخساره‌های دانه غالب مخزن و تبادلات یونی با آنها، منیزیم جانشین بخشی از کلسیم آنها شده و ضمن فرآیند دولومیتی شدن، یون کلسیم آزاد شده با یون سولفات ترکیب یافته و آن را بصورت سیمان ایندیریت در فضای باز درون این رخساره‌ها ته نشست داده است. لذا فرآیند گسترش سیمان ایندیریت در این رخساره‌ها نیز تقریباً همزمان با دولومیتی شدن آنها یا اندکی پس از آن صورت گرفته است. بطور کلی نتایج این مطالعه در خصوص فرآیند دولومیتی شدن و ارتباط آن با تبخیریها، منطبق بر نتایج کارهای قبلی در مخازن مورد مطالعه و معادل آنها است که دومکانیسم تبخیر

## فرآیند دولومیتی شدن و ارتباط آن با تبخیریها در مخازن مورد مطالعه

چنانچه قبلاً نیز ذکر شد بخش عمدت تبخیریها و از جمله ایندیریت موجود در مخازن مورد مطالعه درون رخساره‌های دولومیتی بصورت جانشینی، جایگیری و بویژه پرکننده حفرات تخلخل تشکیل شده است که خود تاییدی بر تاثیر شورابه‌های تبخیری در فرآیند دولومیتی شدن است (Ehrenberg 2006). بطور کلی فرآیند دولومیتی شدن به دو صورت جانشینی (حفظ کننده و تخریب کننده فابریک) و سیمان دولومیتی در مخزن عمل نموده است که بر اساس شواهد بافتی و مطالعات میکروسکوپ الکترونی قابل تفکیک است. دولومیت‌های جانشینی با حفظ فابریک اولیه، که بخش عمدت دولومیت‌ها را شامل می‌شوند همراه با ایندیریت و در طول مراحل اولیه دیاژنر (دولومادستونها) تا تدفین کم عمق (دولوگرینستونها و دولوپکستونها) تشکیل شده‌اند. این دولومیتها عمدتاً ریزبلورین بوده و توسط عوارض دیاژنر بعدی (استیلویلت و شکستگی) قطع شده‌اند. دولومیتی شدن با تخریب فابریک اولیه همراه با ایجاد بلورهای درشت تری نسبت به نوع حفظ کننده فابریک است و شواهد بافتی از قبیل وجود شبکه‌ای از استیلویلت درون این دولومیت هاییانگر تشکیل آنها در نتیجه تبلور دوباره دولومیتهای اولیه طی مراحل دیاژنر تدفینی- است (Rahimpour-Bonab et al. 2010). اما در اینجا باید توجه داشت که تاثیر شورابه‌های تبخیری در فرآیند دولومیتی شدن متفاوت است. بخشی در ارتباط با محیط رسوبی (محیط سبخایی و شورابه‌های لاگونی) و طی مراحل دیاژنر آغازین است. چنانچه گسترش ندولها و بلورهای پراکنده تبخیری (ژیپس و ایندیریت) درون رخساره‌های دانه‌ریز دولومادستونی و دولوپکستونی مثالی از این حالت است که طی آن در نتیجه تبخیر سطحی و تغییظ و ته نشست تبخیریها، نسبت Mg/Ca در محیط بالا رفته و

انیدریت تشکیل نشده و یا بصورت پراکنده است لذا این رخساره‌ها بصورت کلسیتی باقی مانده‌اند. بنابراین در بررسی تاثیر سیمان انیدریت بر کیفیت مخزنی در مخازن مورد مطالعه باید به این نکته توجه داشت که این سیمان عمدتاً بر رخساره‌های دولومیتی موثر بوده است.

سطحی (سبخا) و نشت شورابه‌ای را مدنظر قرار داده Ehrenberg 2006; Alsharhan 2006; Insalaco et al. 2006 (2006; Rahimpour-Bonab et al. 2010 ذکر این نکته نیز ضروری است که در برخی رخساره‌های دانه‌ غالب مخزن که بدلاً لیل مختلف از دسترس شورابه‌ها مصون مانده‌اند



شکل ۱۷- سه فاکتور اصلی کننده گسترش انیدریت و تاثیر آن بر کیفیت مخزنی در مخازن مورد مطالعه

تبخیری، سیمان انیدریت پرکننده شکستگی و رگچه‌های تبخیری است. این بافها طی مراحل مختلف دیاژنز و به درجات مختلف، انواع رخساره‌های مخزن را متاثر ساخته‌اند. حضور سیمان انیدریت در رخساره‌های دولومیتی و عدم حضور و یا مقدار بسیار ناچیز آن در رخساره‌های آهکی بیانگر تاثیر شورابه‌های غنی از سولفات و منیزیم در فرآیند

### نتیجه‌گیری

گسترش انیدریت به صورت بافتها و اشکال مختلف در مخزن از جمله مهمترین فرآیندهای دیاژنزی در مخازن کربناته دلان بالایی و کنگان است. این بافتها شامل انیدریت لایه‌ای، سیمان انیدریت پرکننده تخلخل و فرآگیر، انیدریت پویکیلو توپیک، ندول‌ها و بلورهای پراکنده

- Jurassic, Southern and Southwestern Arabian Gulf: AAPG Bulletin, v. 79, No. 11, p. 1608.
- 5- Buxton, M.W.N. and M.H. Pedley, 1989, A standardized model for Tethyan carbonates ramps: J. Geol. Soc. London, 146: 746-748.
- 6- Cai-neng, Z., T. Shi-zhen, Z. Hui, Z. Xiang-xiang, H. Dong-bo, Z. Chuan-min, W. Lan, W. Xue-song, L. Fu-heng, Z. Ru-kai, L. Ping, Y. Xuan-jun, X. Chun-chun, and Y. Hua, 2008, Genesis, classification, and evaluation method of diagenetic facies. In: Petroleum Exploration and Development, v. 35, No. 5, p. 526-540.
- 7- Dunham, R.J., 1962, Classification of carbonate rocks according to depositional texture. In: AAPG Bulletin, Memoir1, p. 108–121.
- 8- Ehrenberg, S.N., 2006, Porosity destruction in carbonate platforms: Journal of Petroleum Geology, v. 29 (1), pp. 41-52.
- 9- Esrafil-Dizaji, B., and H. Rahimpour-Bonab, 2009, Effects of depositional and diagenetic characteristics on carbonate reservoir quality: a case study from the South Pars gas field in the Persian Gulf. In: Petroleum Geoscience, v. 15, pp. 1-22.
- 10- Flugel, E., 2004, Microfacies of Carbonate Rocks: Analysis, Interpretation and Application. In Springer Verlag, New York, 996 pp.
- 11- Gareth, D.J., and Y. Xiao, 2005, Dolomitization, anhydrite cementation and porosity evolution in a reflux system: insights from reactive transport models. In: AAPG Bulletin, v. 89, No. 5, p. 577-601.
- 12- Gundogan, I., O. Mehmet., and D. Tolga., 2005, Sedimentology, petrography and diagenesis of Eocene–Oligocene evaporites: the Tuzhisar Formation, SW Sivas Basin, Turkey. In: Journal of Asian Earth Sciences, v. 25, p.791–803.
- 13- Hovorka, S.D., 1992, Halite pseudomorphes after gypsum in bedded anhydrite

دولومیتی شدن است. نتایج این مطالعه نشان می‌دهد که سیمان ایندیریت پرکننده تخلخل و فراگیر نسبت به دیگر انواع بافت‌های ایندیریت بیشترین تاثیر را بر کیفیت مخزنی داشته است و با گسترش در بین رخساره‌های دانه غالب مخزن طی مراحل تدفین کم‌عمق، تخلخل و تراوایی آنها را به شدت کاهش داده است. اما از طرف دیگر تاثیر فرآیندهای دیگری مانند شکستگی و بویژه اتحلال را در این رخساره‌ها طی مراحل بعدی دیاژنز باید در بررسیهای مخزنی مد نظر داشت. بنابراین گسترش ایندیریت و بافت‌های مختلف آن و ارتباط آنها با کیفیت مخزنی تحت کنترل سه عامل بافت رسوبی اولیه، حضور شورابه‌های غنی از سولفات در محیط و در نهایت تاثیر فرآیندهای دیاژنز دیگری مانند اتحلال و شکستگی طی مراحل بعدی می‌باشد.

#### منابع

- 1- لطف پور، مسعود؛ آدابی، محمد حسین؛ قویدل سیوکی، محمد، ۱۳۸۲، بررسی رخساره‌های میکروبی (استروماتولیتی و ترومبوولیتی) قاعده سازند کنگان با نگرش ویژه بر گذر پرمو-تریاس در ناحیه زاگرس. مجله علوم دانشگاه تهران، جلد سی ام، شماره ۲ (۳۶۵-۳۴۱).
- 2- Aali, J., H. Rahimpour-Bonab, and M.R. Kamali, 2006, Geochemistry and origin of the world largest gas field from Persian Gulf, Iran: Journal of Petroleum Science and Engineering, v. 50, p. 161-175.
- 3- Alsharhan, A.S., 2006, Sedimentological character and hydrocarbon parameters of the middle Permian to Early Triassic Khuff Formation: United Arab Emirates, GeoArabia, v.11, 121–158.
- 4- Alsharhan, A.S., and G.L. Whittle, 1995, Carbonate – evaporite sequences of the Late

- carbonate unit in central-western Crete (Greece): an evaporite formation transformed into solution-collapse breccias. In: *Sedimentology*, v. 49, No. 5, p. 1113-1132.
- 23- Prothero, D.R., and F. Schwab, 1996, *Sedimentary Geology: An introduction to sedimentary rocks and staratigraphy*. In: New York: W.H. Freeman & Co. pp. 575.
- 24- Rahimpour-Bonab, H., B. Esrafil-Dizaji, and V. Tavakoli, 2010, Dolomitization and anhydrite precipitation in Permo-Triassic carbonates at the South Pars gasfield, offshore Iran: Controls on reservoir quality. In: *Journal of Petroleum Geology*, v. 33(2), pp. 1-24.
- 25- Saller, A.H., and N. Henderson, 1998, Distribution of porosity and permeability in platform dolomites: Insight from the Permian of West Texas. In: *AAPG Bulletin*, v. 82, No. 8, p. 1528-1550.
- 26- Warren, J.K., 2006, *Evaporites: Sediments, Resources and Hydrocarbons*. In: Springer-Verlag, Brunei, pp.1035.
- 27- Wilson, A., W. Sanford, F. Whitaker, and P. Smart, 2001, Spatial patterns of diagenesis during geothermal circulation in carbonate platforms: *American Journal of Science*, v. 301, p. 727-752.
- 28- Wilson, J.L., 1975, *Carbonate Facies in Geologic History*: Springer-Verlag, New York, N.Y., 471 pp.
- 29- Zeigler, M.A., 2001, Late Permian to Holocene paleofacies evolution of the Arabian plate and its hydrocarbon occurrences: *GeoArabia, Gulf Petrolink, Bahrain*, v. 6, No. 3, p. 445 – 504.
- clue to gypsum – anhydrite relationships: *Journal of Sedimentary Petrology*, v. 62, No. 6, p. 1098 – 1111.
- 14- Insalaco, E., A. Virgone, B. Courme, J. Gaillot, M.R. Kamali, A. Moallemi, M. Lotfpour, and S. Monibi, 2006, Upper Dalan and Kangan formation between the Zagros Mountains and offshore Fars, Iran: depositional system, biostratigraphy and stratigraphic architecture. In: *GeoArabia, Gulf PetroLink, Bahrain* v. 11, No. 2.
- 15- Kasprzyk, A., and F.Otri, 1998, Palaogeographic and burial controls on anhydrite genesis: the Badenian basin in the Carpathian Fore deep (southern Poland, western Ukraine). In: *Sedimentology* v. 45, 889-907.
- 16- Kendall, A. C., and K.L.Walters, 1977, The age of metasomatic anhydrite in Mississippian reservoir carbonates, southeastern Saskatchewan: *Canadian Journal of Earth Sciences*, v. 15, p. 424-430.
- 17- Lonoy, A., 2006, Making sense of carbonate pore systems: *AAPG Bulletin*, v. 90, No. 9, p. 1381-1405.
- 18- Lucia, F.J., 1999, *Carbonate Reservoir Characterization*: New York, Springer-Verlag, 226 pp.
- 19- Lucia, F.J., 2007, *Carbonate Reservoir Characterization*. Springer-Verlag, Berlin Heidelberg, pp. 331.
- 20- Machel, H.G., and E.A.Burton, 1991, Burial – diagenetic sabkha – like gypsum and anhydrite nodules: *Sedimentary Geology*, v. 61, No. 3, p. 394-405.
- 21- Machel, H.G., 1993, Anhydrite nodules formed during deep burial. *Journal of Sedimentary Petrology*, v. 63, No. 4, p. 659-662.
- 22- Pomoni-Papaioannou, F., and V. Karakitsios, 2002, Facies analysis of the Trypali